Sistemas Integráveis

Adriano Veiga de Oliveira

Orientador:

CÉSAR AUGUSTO RODRIGUES CASTILHO

Dissertação apresentada ao Departamento de Matemática da Universidade Federal de Pernambuco, como parte dos requisitos para obtenção do título de Mestre em Matemática.

UFPE - Fevereiro de 2003

Agradecimentos

Primeiramente agradeço a Deus por ter me dado o dom da vida e a oportunidade de estar hoje concretizando esse trabalho.

Agradeço ao professor César Castilho por sua orientação e amizade.

Agradeço aos professores Carlos Tomei e Hildeberto Cabral por participarem da banca.

Agradeço à CAPES pelo auxílio financeiro.

Agradeço aos professores Danilo Felizardo, Vasco Domingues, Natanael Oliveira e Leoplodo Ramos pelo incentivo inicial.

Agradeço a todos os meus colegas colegas do d
mat-UFPE que ajudaram-me direta ou indiretamente na realização deste trabalho.

Agradeço a todos os amigos sergipanos que torceram por mim.

Agradeço em especial aos amigos Ana Cristina, Angelo e Luis Del Campo que estiveram sempre ao meu lado e não mediram esforços para me auxiliar no que fosse necessário.

Agradeço de forma especial aos eternos amigos Paulo Rabelo, Solange e Marcos Aurélio (É um prazer ser amigo de vocês).

E um agradecimento mais que especial aos meus pais, Alcéua e Fátima e aos meus irmãos André, Rosana, Isabela e Paulo por toda a força que eles sempre me deram.

Conteúdo

In	Introdução					
1	Nog	oções básicas de mecânica hamiltoniana e lagrangeana				
	1.1	Variedades simpléticas	8			
	1.2	Transformações simpléticas	11			
	1.3	Sistemas hamiltonianos	13			
	1.4	Colchete de Poisson	16			
	1.5	O fibrado cotangente	20			
		1.5.1 O caso linear	20			
		1.5.2 O caso não linear	22			
		1.5.3 Levantamento cotangente	23			
	1.6	Sistemas lagrangeanos	26			
		1.6.1 A transformada de Legendre	26			
		1.6.2 Formulação lagrangeana	28			
		1.6.3 Relação entre a formulação lagrangeana e hamiltoniana	31			
	1.7	Princípio variacional	33			

	1.8	Funções geradoras				
	1.9	Teoria	de Hamilton-Jacobi	39		
		1.9.1	O problema do oscilador harmônico como um exemplo do método de Hamilton-Jacobi	41		
2	Intr	oduçã	o aos grupos de Lie	44		
	2.1	Grupo	s de Lie	44		
		2.1.1	Campo de vetores invariantes	46		
		2.1.2	A álgebra de Lie de um grupo de Lie $\ \ldots \ \ldots \ \ldots \ \ldots$	47		
		2.1.3	Subgrupos a um parâmetro e a aplicação exponencial	49		
		2.1.4	Homomorfismo de grupos	50		
		2.1.5	Subgrupos de Lie	53		
		2.1.6	Quocientes	54		
	2.2	Alguns	s grupos de Lie clássicos	54		
		2.2.1	O grupo linear real, $GL(n,\mathbb{R})$	54		
		2.2.2	O grupo linear real especial, $SL(n,\mathbb{R})$	55		
		2.2.3	O grupo ortogonal, $O(n)$	56		
		2.2.4	O grupo ortogonal especial, $SO(n)$	57		
	2.3	Ação d	de grupos de Lie	59		
	2.4	A aplicação momento				
3	Sist	emas l	namiltonianos integráveis	69		
	3.1	Definições básicas				

	3.2	O teorema de Arnold-Liouville	70						
	3.3	Variáveis de ação-ângulo	75						
4	O fl	fluxo geodésico no elipsóide e o problema mecânico de Neumann							
	4.1	Sistemas hamiltonianos com vínculo	80						
	4.2	O fluxo geodésico no elipsóide	84						
		4.2.1 Formulação hamiltoniana	86						
		4.2.2 Construção das integrais de movimento	88						
	4.3	O problema mecânico de Neumann	90						
	4.4	4.4 Conexão entre o sistema de Neumann e o fluxo geodésico no elipsóide v a aplicação normal de Gauss							
	4.5	Solução do problema de Neumann usando as equações de Hamilton-Jacobi	94						
		4.5.1 Separação das variáveis	98						
Bi	Bibliografia 100								

Introdução

O principal objetivo deste trabalho é apresentar a teoria dos Sistemas Hamiltonianos Integráveis e aplicá-lo ao estudo de dois problemas básicos que servem como introdução à literatura geral. São eles, o fluxo geodésico no elipsóide e o problema mecânico de Neumann. Além disso, veremos que H.Knöer, usando a aplicação de Gauss do elipsóide na esfera unitária, mostrou que existe uma equivalência entre os dois problemas mecânicos. Usamos como principais referências os textos [1], [2], [6], [7] e [8].

A tese é organizada da seguinte forma: No capítulo 1 apresentaremos alguns conceitos básicos de mecânica hamiltoniana e lagrangeana sobre uma variedade e mostraremos a correspondência que existe entre sistemas mecânicos hamiltonianos e lagrangeanos. A seguir estudaremos um pouco de princípio variacional e da teoria clássica dos sistemas hamiltonianos integráveis através do estudo das funções geradoras e da teoria de Hamilton-Jacobi.

No capítulo 2, estudaremos um pouco da teoria dos grupos de Lie que são de suma importância no estudo de sistemas hamiltonianos com simetria e apresentaremos uma maneira de construir integrais de movimento para um sistema hamiltoniano através da aplicação momento.

No capítulo 3, daremos algumas definições básicas sobre a teoria geométrica dos sistemas hamiltonianos integráveis e demonstraremos um dos resultados mais importantes dessa teoria, o teorema de Arnold-Liouville que caracteriza o espaço de fases de um sistema integrável.

No capítulo 4, aplicamos a teoria dos sistemas hamiltonianos integráveis ao estudo do fluxo geodésico no elipsóide e do problema mecânico de Neumann.

Recife, 14 de fevereiro de 2003.

Capítulo 1

Noções básicas de mecânica hamiltoniana e lagrangeana

Nesse capítulo definiremos os conceitos básicos para o estudo dos dois principais pontos de vista da mecânica, o **Hamiltoniana** e o **Lagrangeano**. Mostraremos que apesar de importantes por razões diferentes (a mecânica hamiltoniana tem seu príncipio fundamentado no conceito de energia e seu príncipio de conservação; enquanto que a mecânica lagrangeana se fundamenta no princípio variacional), existe uma correspondência natural entre os sistemas hamiltonianos e lagrangeanos de um problema mecânico através da transformada de Legendre. Além disso, apresentaremos a teoria clássica dos sistemas integráveis. Algumas relações e propriedades envolvendo formas diferenciáveis e campo de vetores e que são necessárias para uma leitura desse capítulo podem ser encontradas na referência [7], pag. 126-128.

1.1 Variedades simpléticas

Definição 1.1.1 Uma variedade simplética é um par (P,Ω) onde P é uma variedade diferenciável conexa de dimensão finita e Ω é uma 2-forma fechada e não degenerada sobre P.

Exemplos:

- a) Considere \mathbb{R}^{2n} com coordenadas (q,p); $q,p \in \mathbb{R}^n$. Defina uma 2-forma Ω por $\Omega(v_1,v_2)=v_1^T\mathbb{J}v_2$ onde $\mathbb{J}=\begin{pmatrix}0&I\\-I&0\end{pmatrix}$ e I é a matriz identidade $n\times n$. A forma Ω é claramente não degenerada e o par (\mathbb{R}^{2n},Ω) é uma variedade simplética.
- b) O cilindro $\mathbb{S}^1 \times \mathbb{R}$ com coordenadas (θ, r) é uma variedade simplética com a forma $\Omega = d\theta \wedge dr$.
- c) A esfera \mathbb{S}^2 de raio r com coordenadas (θ, φ) é uma variedade simplética com a forma $\Omega = r^2 sen\theta d\theta \wedge d\varphi$.
- d) O toro \mathbb{T}^2 com coordenadas períodicas (θ, φ) é uma variedade simplética com a forma $\Omega = d\theta \wedge d\varphi$.
- e) T^*Q , o fibrado cotangente de uma variedade Q, é sempre uma variedade simplética (ver seção 1.5). Quando Q é o espaço de configuração de um sistema mecânico, T^*Q é chamado espaço de fases.

O próximo resultado nos informa que localmente todas as variedades simpléticas são equivalentes.

Teorema 1.1.2 (Teorema de Darboux) Seja (P,Ω) uma variedade simplética. Então em uma vizinhança apropriada de cada $z \in P$, existe um sistema de coordenadas locais tal que Ω é constante.

Demonstração Usando coordenadas locais podemos assumir P = E e $z = 0 \in E$, onde E é um espaço vetorial de dimensão finita. Seja Ω_1 a forma constante igual a $\Omega(0)$. Seja

$$\Omega_2 = \Omega_1 - \Omega$$

e defina

$$\Omega_t := \Omega + t\Omega_2, \quad para \quad 0 \le t \le 1.$$

Daí,

$$\Omega_t(0) = \Omega(0) + t\Omega_2(0)$$

$$= \Omega(0) + t[\Omega_1(0) - \Omega(0)]$$

$$= \Omega(0)$$

é uma forma bilinear não degenerada para cada t. Logo, como o conjunto dos isomorfismos lineares de E em E^* é aberto e o intervalo [0,1] é compacto, existe uma vizinhança de 0 tal que Ω_t é não degenerada para todo $t \in [0,1]$. Podemos assumir que essa vizinhança é uma bola de tal forma que, pelo lema de Poincaré, existe uma 1-forma α tal que $\Omega_2 = d\alpha$ nessa bola. Substituindo α por $\alpha - \alpha(0)$ podemos assumir $\alpha(0) = 0$. Desde que Ω_t é não degenerada, nos podemos definir um campo de vetores suave dependente do tempo \mathbb{X}_t por $i_{\mathbb{X}_t}\Omega_t = -\alpha$ isto é, $\Omega_t(z)(\mathbb{X}_t, \bullet) = -\alpha$. Desde que $\alpha(0) = 0$, temos $\mathbb{X}_t(0) = 0$ e da teoria de existência local para equações diferenciais existe uma bola em que o fluxo de \mathbb{X}_t está definido ao menos para um pequeno intervalo de tempo. Seja F_t o fluxo de \mathbb{X}_t passando por $F_0 = id$. Usando a formula da derivada de Lie para campo de vetores dependentes do tempo, temos

$$\frac{d}{dt}(F_t^*\Omega_t) = F_t^*(\pounds_{\mathbb{X}_t}\Omega_t) + F_t^*\frac{d}{dt}\Omega_t$$

$$= F_t^*(di_{\mathbb{X}_t}\Omega_t + i_{\mathbb{X}_t}d\Omega_t) + F_t^*\Omega_2$$

$$= F_t^*di_{\mathbb{X}_t}\Omega_t + F_t^*\Omega_2$$

$$= F_t^*(d(-\alpha) + \Omega_2) = 0.$$

Portanto, $F_1^*\Omega_1 = F_0^*\Omega_0 = \Omega$ e deste modo F_1 fornece uma transformação de coordenadas da forma Ω na forma constante Ω_1 .

Corolário 1.1.3 Se (P,Ω) é uma variedade simplética, então P tem dimensão par e em uma vizinhança de $z \in P$ existem coordenadas locais $(q_1, ..., q_n, p_1, ..., p_n)$ tal que

$$\Omega = \sum_{i=1}^{n} dq_i \wedge dp_i.$$

Demonstração Ver [1]. ■

Corolário 1.1.4 Toda variedade simplética de dimensão 2n é orientável.

Demonstração Seja (P, Ω) uma variedade simplética. Pelo corolário anterior temos que, em coordenadas locais $(q_1, ..., q_n, p_1, ..., p_n)$,

$$\Omega = \sum_{i=1}^{n} dq_i \wedge dp_i.$$

Definamos a 2n forma

$$\Lambda = \frac{(-1)^{\frac{n(n-1)}{2}}}{n!} \Omega \wedge \dots \wedge \Omega \quad (n \ vezes). \tag{1.1}$$

Pela expressão de Ω em coordenadas, temos

$$\Lambda = dq_1 \wedge \dots \wedge dq_n \wedge dp_1 \wedge \dots \wedge dp_n,$$

Daí, definimos uma forma volume sobre P. Logo, P é uma variedade orientável. \blacksquare

1.2 Transformações simpléticas

Definição 1.2.1 Sejam (P_1, Ω_1) e (P_2, Ω_2) variedades simpléticas. Uma aplicação de classe C^{∞}

$$\varphi: P_1 \to P_2$$

é chamada simplética (ou canônica) se

$$\varphi^*\Omega_2=\Omega_1$$

ou seja, se para cada $z \in P_1$ e todo $v, w \in T_z P_1$ temos a seguinte identidade:

$$\Omega_1(z)(v,w) = \Omega_2(\varphi(z))(T_z\varphi(v),T_z\varphi(w))$$

onde $T_z \varphi$ é a derivada de φ em z.

Definição 1.2.2 Quando a transformação simplética é um difeomorfismo, ela é chamada Simplectomorfismo.

Agora, vamos caracterizar todas as transformações simpléticas lineares. Para isso, sejam $P_1 = P_2 = \mathbb{R}^{2n}$ e $\Omega_1 = \Omega_2 = \Omega$ definida como no exemplo (a) seção 1.1 e $A : \mathbb{R}^{2n} \to \mathbb{R}^{2n}$ uma aplicação linear. Por definição, A é simplética se e somente se $A^*\Omega = \Omega$. Isto significa que dados $v_1, v_2 \in \mathbb{R}^{2n}$ temos

$$A^*\Omega = \Omega \iff (A^*\Omega)(v_1, v_2) = \Omega(v_1, v_2)$$

$$\Omega(Av_1, Av_2) = \Omega(v_1, v_2) \iff (Av_1)^T \mathbb{J}(Av_2) = v_1^T \mathbb{J}V_2$$

$$v_1^T A^T \mathbb{J} Av_2 = v_1^T \mathbb{J}v_2 \iff A^T \mathbb{J} A = \mathbb{J}$$

onde $\mathbb{J} = \begin{pmatrix} 0 & I \\ -I & 0 \end{pmatrix}$. Portanto, a aplicação linear $A : \mathbb{R}^{2n} \to \mathbb{R}^{2n}$ é simplética se e somente se $A^T \mathbb{J} A = \mathbb{J}$.

Teorema 1.2.3 Uma transformação canônica entre variedades simpléticas de mesma dimensão preserva o volume induzido pela forma simplética via (1.1) e é um difeomorfismo local.

Demonstração Sejam (P_1, Ω_1) e (P_2, Ω_2) variedades simpléticas de mesma dimensão. Se a aplicação

$$\varphi: P_1 \to P_2$$

é canônica, a propriedade

$$\varphi^*(\alpha \wedge \beta) = \varphi^*\alpha \wedge \varphi^*\beta$$

implica que

$$\varphi^*\Lambda=\Lambda,$$

onde

$$\Lambda = dq_1 \wedge \dots \wedge dq_n \wedge dp_1 \wedge \dots \wedge dp_n,$$

isto é, φ preserva a forma volume e consequentemente seu determinante Jacobiano é 1. Deste modo, pelo teorema da função inversa, φ é um difeomorfismo local.

1.3 Sistemas hamiltonianos

Nessa seção, introduziremos as noções básicas que fundamentam a mecânica hamiltoniana conservativa sobre uma variedade simplética.

Definição 1.3.1 Seja (P,Ω) uma variedade simplética. Um campo de vetores \mathbb{X} sobre P é chamado hamiltoniano se existe uma função $H:P\to\mathbb{R}$ tal que $i_{\mathbb{X}}\Omega=dH$, isto é, para todo $v\in T_zP$, temos

$$\Omega(z)(\mathbb{X}(z),v) = dH(z).v$$

Neste caso, escrevemos $\mathbb{X} = \mathbb{X}_H$. O conjunto de todos os campos de vetores hamiltonianos sobre P é denotado por $\mathfrak{X}_{Ham}(P)$.

Definição 1.3.2 As equações de Hamilton são definidas como as equações de evolução

$$\dot{z} = \mathbb{X}_H(z).$$

Se P tem dimensão 2n, as equações de Hamilton em coordenadas canônicas são

$$\begin{cases} \frac{dq_i}{dt} = \frac{\partial H}{\partial p_i}, & i = 1, ..., n \\ \\ \frac{dp_i}{dt} = -\frac{\partial H}{\partial q_i}, & i = 1, ..., n. \end{cases}$$

Definição 1.3.3 Definiremos um sistema hamiltoniano como sendo a terna $(P, \Omega, \mathbb{X}_H)$.

Definição 1.3.4 Um campo de vetores \mathbb{X} é chamado localmente hamiltoniano se $i_{\mathbb{X}}\Omega$ é fechada.

A exigência de que $i_{\mathbb{X}}\Omega$ seja fechada na definição anterior é equivalente a $\mathcal{L}_{\mathbb{X}}\Omega=0$, onde $\mathcal{L}_{\mathbb{X}}\Omega$ denota a derivada de Lie de Ω ao longo de \mathbb{X} , visto que

$$\pounds_{\mathbb{X}}\Omega = i_{\mathbb{X}}d\Omega + di_{\mathbb{X}}\Omega = di_{\mathbb{X}}\Omega.$$

Assim, se \mathbb{X} é localmente hamiltoniano, segue do lema de Poincaré que existe localmente uma função H tal que $i_{\mathbb{X}}\Omega = dH$, assim localmente $\mathbb{X} = \mathbb{X}_H$, e desta maneira a terminologia é consistente.

Exemplo: (Um campo localmente hamiltoniano que não é hamiltoniano)

Considere o 2-toro \mathbb{T}^2 com coordenadas períodicas θ e φ . Então $\Omega = d\theta \wedge d\varphi$ é uma forma simplética sobre \mathbb{T}^2 . Identificando o espaço tangente de \mathbb{T}^2 com \mathbb{R}^2 seja, para duas constantes a e b não nulas,

$$\mathbb{X}(\theta,\varphi) = a\frac{\partial}{\partial\theta} + b\frac{\partial}{\partial\varphi}$$

então

$$i_{\mathbb{X}}\Omega = (i_{\mathbb{X}}dx) \wedge d\varphi - d\theta \wedge (i_{\mathbb{X}}d\varphi)$$

= $ad\theta - bd\varphi$

que é fechada. Segue que \mathbb{X} é localmente hamiltoniano. Mas todo campo de vetores localmente hamiltoniano que não se anula sobre uma variedade simplética compacta não pode ser hamiltoniano. De fato, se $\mathbb{X} = \mathbb{X}_H$ para algum H então, desde que H tem um ponto crítico sobre a variedade, \mathbb{X} correspondentemente tem um zero. Logo, o campo de vetores \mathbb{X} não pode ser hamiltoniano.

O próximo resultado sobre campo de vetores hamiltonianos nos mostra que seu fluxo consiste de uma família de transformações simpléticas.

Proposição 1.3.5 O fluxo φ_t de um campo de vetores \mathbb{X} consiste de uma família de transformações simpléticas (isto é, para cada t temos $\varphi_t^*\Omega = \Omega$) se e somente se \mathbb{X} é localmente hamiltoniano.

Demonstração Se φ_t é o fluxo do campo de vetores X, temos a seguinte relação

$$\frac{d}{dt}\varphi_t^*\Omega = \varphi_t^* \pounds_{\mathbb{X}}\Omega$$

Assim,

 \mathbb{X} é localmente hamiltoniano $\Longleftrightarrow \pounds_{\mathbb{X}}\Omega=0 \Longleftrightarrow \varphi_t$ é transformação simplética. \blacksquare

Agora veremos que uma importante propriedade da função hamiltoniana é que ela permanece constante ao longo do fluxo de seu campo.

Teorema 1.3.6 (Conservação de Energia) Se φ_t é o fluxo de um campo de vetores X_H sobre uma variedade simplética P, então $H \circ \varphi_t = H$.

Demonstração Se X_H é Hamiltoniano com fluxo φ_t , pela regra da cadeia, temos que

$$\frac{d}{dt}(H(\varphi_t(z))) = dH(\varphi_t(z)).\mathbb{X}_H(\varphi_t(z))$$

$$= \Omega(\mathbb{X}_H(\varphi_t(z)), \mathbb{X}_H(\varphi_t(z)))$$

$$= 0$$

Logo, $H \circ \varphi_t$ é constante em $t \in H \circ \varphi_t = H$.

O próximo resultado destaca a importância da estrutura simplética no estudo de sistemas hamiltonianos. Essa estrutura simplifica a troca de variáveis num campo de vetores hamiltoniano visto que o novo campo hamiltoniano obtido com essa troca de variáveis é induzido pela função hamiltoniana obtida nas novas variáveis.

Proposição 1.3.7 Um difeomorfismo $\varphi: P_1 \to P_2$ entre variedades simpléticas é simplético se e somente se satisfaz $\varphi^* \mathbb{X}_H = \mathbb{X}_{H \circ \varphi}$ para toda função $H: U \to \mathbb{R}$ (tal que \mathbb{X}_H está definido) onde U é um subconjunto aberto de P_2 .

Demonstração Sejam Ω_1 e Ω_2 as formas simpléticas sobre P_1 e P_2 respectivamente. Para todo $v \in T_z P_1$ temos a seguinte relação

$$\Omega_{1}(z)(\mathbb{X}_{H\circ\varphi}(z),v) = d(H\circ\varphi)(z)v$$

$$= dH(\varphi(z))D\varphi(z)v$$

$$= \Omega_{2}(\varphi(z))(\mathbb{X}_{H}(\varphi(z)),D\varphi(z)v).$$
(1.2)

Suponha que φ é simplética. Isso implica que

$$\Omega_1(z)(\mathbb{X}_{H\circ\varphi}(z),v) = \Omega_2(\varphi(z))(D\varphi(z)\mathbb{X}_{H\circ\varphi}(z),D\varphi(z)v). \tag{1.3}$$

Subtraindo (1.3) e (1.2) temos

$$\Omega_2(\varphi(z))(D\varphi(z)\mathbb{X}_{H\circ\varphi}(z)-\mathbb{X}_H(\varphi(z)),D\varphi(z)v)=0, \ para\ todo\ v\in T_zP_1,$$

donde

$$D\varphi(z)X_{H\circ\varphi}(z) = X_H(\varphi(z)). \tag{1.4}$$

Portanto

$$\varphi^* \mathbb{X}_H = \mathbb{X}_{H \circ \varphi}.$$

Reciprocamente, assuma que vale (1.4). Isso implica por (1.2) que

$$\Omega_1(z)(\mathbb{X}_{H\circ\varphi}(z),v) = \Omega_2(\varphi(z))(D\varphi(z)\mathbb{X}_{H\circ\varphi}(z),D\varphi(z)v),$$

como a escolha do campo é arbitrária, concluimos que

$$\varphi^*\Omega_2=\Omega_1.$$

Portanto, φ é simplética.

1.4 Colchete de Poisson

Um fato importante no estudo dos sistemas hamiltonianos é que podemos munir com uma estrutura de álgebra de Lie o conjunto das funções hamiltonianas. Ou seja, podemos definir uma operação entre essas funções que satisfaz bilinearidade, antisimetria e a identidade de Jacobi.

Definição 1.4.1 Definimos $\mathcal{F}(P) = \text{conjunto das funções diferenciáveis sobre } P$.

Definição 1.4.2 O colchete de Poisson de duas funções $F, G \in \mathcal{F}(P)$ é definido por

$$\{F,G\}(z) := \Omega(\mathbb{X}_F(z),\mathbb{X}_G(z)).$$

Em coordenadas canônicas $(q_1, ..., q_n, p_1, ..., p_n)$, temos

$$\{F,G\} = \sum_{i=1}^{n} \left(\frac{\partial F}{\partial q_i} \frac{\partial G}{\partial p_i} - \frac{\partial F}{\partial p_i} \frac{\partial G}{\partial q_i}\right).$$

Proposição 1.4.3 Um difeomorfismo $\varphi: P_1 \to P_2$ é simplético se e somente se

$$\varphi^* \{ F, G \} = \{ \varphi^* F, \varphi^* G \}$$

para toda função $F, G: U \to \mathbb{R}$, onde U é um subconjunto aberto arbitrário de P_2 .

Demonstração Usaremos a identidade $\varphi^*(\pounds_X F) = \pounds_{\varphi^* \mathbb{X}}(\varphi^* F)$. Assim,

$$\varphi^*\{F,G\} = \varphi^*(\pounds_{\mathbb{X}_G}F) = \pounds_{\varphi^*\mathbb{X}_G}(\varphi^*F) \quad e \quad \{\varphi^*F,\varphi^*G\} = \pounds_{\mathbb{X}_{G\circ\varphi}}(\varphi^*F).$$

Consequentemente, φ preserva o colchete de Poisson se e somente se $\varphi^* \mathbb{X}_G = \mathbb{X}_{G \circ \varphi}$ para toda função $G: P \to \mathbb{R}$. Logo, pela proposição 1.3.7, φ preserva o colchete de Poisson se e somente se φ é simplética.

Proposição 1.4.4 Se φ_t é o fluxo de um campo de vetores Hamiltoniano (ou de um campo de vetores localmente Hamiltoniano) X_H , então

$$\varphi_t^* \{ F, G \} = \{ \varphi_t^* F, \varphi_t^* G \}$$

para toda $F, G \in \mathbb{F}(P)$ (ou restrita a um aberto se o fluxo não está definido em toda parte)

Demonstração Segue das proposições (1.3.5) e (1.4.3). ■

Corolário 1.4.5 Vale a seguinte identidade de derivação :

$$X_H({F,G}) = {X_H(F),G} + {F,X_H(G)}$$

onde $\mathbb{X}_H(F) = \pounds_{\mathbb{X}_H}F$ é a derivada de F na direção de \mathbb{X}_H .

Demonstração Diferenciaremos a identidade

$$\varphi_t^* \{ F, G \} = \{ \varphi_t^* F, \varphi_t^* G \}$$

em relação a t em t=0, onde φ_t é o fluxo de \mathbb{X}_H .

Diferenciando o lado esquerdo obtemos

$$\frac{d}{dt}\Big|_{t=0} (\varphi_t^* \{F, G\})(z) = d\{F, G\}(z) (\frac{d}{dt}\Big|_{t=0} \varphi_t(z))$$

$$= d\{F, G\}(z) \mathbb{X}_H(z)$$

$$= \mathbb{X}_H(\{F, G\})(z).$$

Para calcular o lado direito, primeiro notemos que

$$\Omega(z)\left(\frac{d}{dt}\Big|_{t=0} \mathbb{X}_{\varphi_t^*F}(z), \bullet\right) = \frac{d}{dt}\Big|_{t=0} \Omega(z)(\mathbb{X}_{\varphi_t^*F}(z), \bullet)$$

$$= \frac{d}{dt}\Big|_{t=0} d(\varphi_t^*F)(z)$$

$$= d\mathbb{X}_H[F](z)$$

$$= d\mathbb{X}_H[F](z)$$

$$= \Omega(z)(\mathbb{X}_{\mathbb{X}_H[F]}(z), \bullet).$$

Assim,

$$\frac{d}{dt}\Big|_{t=0} \mathbb{X}_{\varphi_t^* F} = \mathbb{X}_{\mathbb{X}_H[F]}$$

Portanto,

$$\begin{split} \frac{d}{dt}\Big|_{t=0} \{\varphi_t^* F, \varphi_t^* G\}(z) &= \frac{d}{dt}\Big|_{t=0} \Omega(z) (\mathbb{X}_{\varphi_t^* F}(z), \mathbb{X}_{\varphi_t^* G}(z)) \\ &= \Omega(z) (\mathbb{X}_{\mathbb{X}_H[F]}(z), \mathbb{X}_G(z)) + \Omega(z) (\mathbb{X}_F(z), \mathbb{X}_{\mathbb{X}_H[G]}(z)) \\ &= \{\mathbb{X}_H[F], G\}(z) + \{F, \mathbb{X}_H[G]\}(z). \quad \blacksquare \end{split}$$

Proposição 1.4.6 As funções de $\mathcal{F}(P)$ formam uma álgebra de Lie com o colchete de Poisson.

Demonstração Desde que o colchete de Poisson é \mathbb{R} -bilinear e antisimétrico por definição, basta mostrarmos que vale a identidade de Jacobi. Da identidade

$$\{F,G\} = i_{\mathbb{X}_F}\Omega(\mathbb{X}_G) = dF(\mathbb{X}_G) = \mathbb{X}_G(F)$$

e pelo corolário anterior temos

$$\{\{F,G\},H\} = X_H(\{F,G\})$$

$$= \{X_H(F),G\} + \{F,X_H(G)\}$$

$$= \{\{F,H\},G\} + \{F,\{G,H\}\}.$$

que é a identidade de Jacobi.

Definição 1.4.7 Definiremos $\mathfrak{X}(P)$ = conjunto dos campos de vetores diferenciáveis sobre P.

Proposição 1.4.8 O conjunto dos campos de vetores hamiltonianos $\mathfrak{X}_{Ham}(P)$ é uma subàlgebra de Lie de $\mathfrak{X}(P)$. De fato, $[\mathbb{X}_F, \mathbb{X}_G] = -\mathbb{X}_{\{F,G\}}$.

Demonstração Basta mostrar a última identidade acima:

$$[X_F, X_G](H) = X_F X_G(H) - X_G X_F(H)$$

$$= X_F(\{H, G\}) - X_G(\{H, F\})$$

$$= \{\{H, G\}, F\} - \{\{H, F\}, G\}$$

$$= -\{H, \{F, G\}\}$$

$$= -X_{\{F, G\}}(H). \blacksquare$$

Proposição 1.4.9 Seja φ_t o fluxo de \mathbb{X}_H e $F \in \mathcal{F}(P)$, então,

$$\frac{d}{dt}(F \circ \varphi_t) = \{F \circ \varphi_t, H \circ \varphi_t\} = \{F, H\} \circ \varphi_t.$$

Demonstração Da identidade $\{F,G\} = \mathbb{X}_G(F)$ e da regra da cadeia,

$$\frac{d}{dt}(F \circ \varphi_t) = dF(\varphi_t(z)).\mathbb{X}_H(\varphi_t(z)) = \{F, H\}(\varphi_t(z))$$

Desde que φ_t é simplética, temos que

$${F, H}(\varphi_t(z)) = {F \circ \varphi_t, H \circ \varphi_t}(z). \blacksquare$$

Definição 1.4.10 Chamaremos a equação $\dot{F} = \{F, H\} = \Omega(X_F, X_H)$ de equação do movimento na forma do colchete de Poisson.

Definição 1.4.11 Uma função $F \in \mathcal{F}(P)$ é chamada de integral de movimento de um campo de vetores X se F é constante ao longo de qualquer curva integral desse campo.

O próximo resultado caracteriza uma integral de movimento de um campo de vetores hamiltoniano \mathbb{X}_H atráves do colchete de Poisson.

Corolário 1.4.12 Uma função $F \in \mathcal{F}(P)$ é uma constante de movimento para o campo de vetores X_H se e somente se $\{F, H\} = 0$.

Demonstração F é uma constante de movimento $\iff \frac{d}{dt}(F \circ \varphi_t) = 0 \iff \{F, G\} = 0.$

1.5 O fibrado cotangente

1.5.1 O caso linear

Sabemos que se W é um espaço vetorial de dimensão finita, então $T^*W = W \times W^*$.

Definição 1.5.1 Chamaremos de 1-forma canônica a 1-forma Θ , definida sobre $W \times W^*$ da seguinte maneira:

$$\Theta_{(w,\alpha)}(u,\beta) = <\alpha, u>$$

Definição 1.5.2 Chamaremos de 2-forma canônica a 2-forma Ω definida por

$$\Omega_{(w,\alpha)}((u,\beta),(v,\gamma)) = \langle \gamma, u \rangle - \langle \beta, v \rangle \tag{1.5}$$

onde $(w, \alpha) \in W \times W^*$ é o ponto base, $u, v \in W$ e $\beta, \gamma \in W^*$.

A próxima proposição mostra que a 2-forma canônica é exata.

Proposição 1.5.3 A 2-forma Ω definida por (1.5) pode ser escrita como $\Omega = \sum_i dq_i \wedge dp_i$ em coordenadas $q_1, ..., q_n$ em W e correspondentes coordenadas duais $p_1, ..., p_n$ em W^* . A 1-forma canônica associada é dada por

$$\Theta = \sum_{i} p_{i} dq_{i}$$

Além disso, $\Omega = -d\Theta$.

Demonstração Se $(q_1,...,q_n,p_1,...,p_n)$ são coordenadas em $W\times W^*$, então

$$(\frac{\partial}{\partial q_1},...,\frac{\partial}{\partial q_n},\frac{\partial}{\partial p_1},...,\frac{\partial}{\partial p_n})$$

denota a base induzida para $T_{(w,\alpha)}(T^*W)$ e $(dq_1,...,dq_n,dp_1,...,dp_n)$ denota a base dual associada de $T_{(w,\alpha)}^*(T^*W)$. Escreva

$$(u,\beta) = (\Sigma_j u_j \frac{\partial}{\partial q_j}, \Sigma_j \beta_j \frac{\partial}{\partial p_j})$$

e

$$(v,\gamma) = (\Sigma_j v_j \frac{\partial}{\partial q_j}, \Sigma_j \gamma_j \frac{\partial}{\partial p_j})$$

Daí,

$$(dq_i \wedge dp_i)_{(w,\alpha)}((u,\beta),(v,\gamma)) = (dq_i \otimes dp_i - dp_i \otimes dq_i)((u,\beta),(v,\gamma))$$
$$= dq_i(u,\beta)dp_i(v,\gamma) - dp_i(u,\beta)dq_i(v,\gamma)$$
$$= u_i\gamma_i - \beta_i v_i.$$

Com isso,

$$\Omega_{(w,\alpha)}((u,\beta),(v,\gamma)) = <\gamma, u> -<\beta, v> = \Sigma_i u_i \gamma_i - \beta_i v_i.$$

Logo,

$$\Omega = \Sigma_i dq_i \wedge dp_i.$$

Da mesma forma,

$$(p_i dq_i)_{(w,\alpha)}(u,\beta) = \alpha_i dq_i(u,\beta) = \alpha_i u_i$$

e

$$\Theta_{(w,\alpha)}(u,\beta) = <\alpha, u> = \Sigma_i \alpha_i u_i.$$

Comparando, temos que

$$\Theta = \Sigma_i p_i dq_i.$$

Portanto,

$$-d\Theta = -d(\Sigma_i p_i dq_i) = \Sigma_i dq_i \wedge dp_i = \Omega.$$

Além disso, como a matriz que representa Ω nessas coordenadas é a matriz $\mathbb{J},~\Omega$ é não degenerada. \blacksquare

1.5.2 O caso não linear

Definição 1.5.4 Seja Q uma variedade. Definimos $\Omega = -d\Theta$, onde Θ é uma 1-forma sobre T^*Q definida por

$$\Theta_{\beta}(v) = <\beta, T\pi_Q^*.v>$$

onde $\beta \in T^*Q$, $v \in T_\beta(T^*Q)$, $\pi_Q^* : T^*Q \to Q$ é a projeção e $T\pi_Q^* : T(T^*Q) \to TQ$ é a aplicação tangente de π_Q^* .

A proposição 1.5.3 mostra que $(T^*Q, \Omega = -d\theta)$ é uma variedade simplética. De fato, em coordenadas locais com $(w, \alpha) \in U \times W^*$, onde U é aberto em W e $(u, \beta), (v, \gamma) \in W \times W^*$, a 2-forma $\Omega = -d\theta$ é dada por

$$\Omega_{(w,\alpha)}((u,\beta),(v,\gamma)) = \gamma(u) - \beta(v).$$

1.5.3 Levantamento cotangente

Definição 1.5.5 Dados duas variedades Q e S e um difeomorfismo $f:Q\to S$, o levantamento cotangente

$$T^*f:T^*S\to T^*Q$$

de f é definido por

$$< T^* f(\alpha_s), v > = < \alpha_s, (Tf.v) >$$

onde $\alpha_s \in T_s^* S$, $v \in T_q Q$ e s = f(q).

Denotando por $\pi_Q^*: T^*Q \longrightarrow Q$ e $\pi_S^*: T^*S \longrightarrow S$ as projeções canônicas dos fibrados cotangentes, a definição anterior pode ser representada pelo seguinte diagrama:

$$T^*Q \stackrel{T^*f}{\longleftarrow} T^*S$$

$$\pi_Q^* \downarrow \qquad \qquad \downarrow \pi_S^*$$

$$Q \stackrel{f}{\longrightarrow} S$$

O importante dessa definição é que T^*f por construção é uma transformação simplética. Isto é verificado na seguinte proposição:

Proposição 1.5.6 Um difeomorfismo $\varphi: T^*S \longrightarrow T^*Q$ preserva as 1-formas canônicas Θ_S e Θ_Q sobre T^*S e T^*Q , respectivamente, se e somente se φ é o levantamento cotangente T^*f de algum difeomorfismo $f: Q \longrightarrow S$.

Demonstração Primeiro suponha que $f:Q\longrightarrow S$ é um difeomorfismo. Então para $\beta\in T^*S$ e $v\in T_\beta(T^*S)$, temos que

$$((T^*f)^*\Theta_Q)_{\beta}.v = (\Theta_Q)_{T^*f(\beta)}.TT^*f(v)$$

$$= \langle T^*f(\beta), (T\pi_Q^* \circ TT^*f).v \rangle$$

$$= \langle \beta, T(f \circ \pi_Q^* \circ T^*f).v \rangle$$

$$= \langle \beta, T\pi_S^*.v \rangle$$

$$= (\Theta_S)_{\beta}.v$$

desde que $f \circ \pi_Q^* \circ T^* f = \pi_S^*$.

Reciprocamente, suponha que $\varphi_*\Theta_Q = \Theta_S$, isto é

$$\langle \varphi(\beta), T(\pi_Q^* \circ \varphi)(v) \rangle = \langle \beta, T\pi_S^*(v) \rangle$$
 (1.6)

para todo $\beta \in T^*S$ e $v \in T_{\beta}(T^*S)$. Como φ é um difeomorfismo, a imagem de $T_{\beta}(\pi_Q^* \circ \varphi)$ é $T_{\pi_Q^*(\varphi(\beta))}Q$, deste modo $\beta = 0$ em (1.6) implica que $\varphi(0) = 0$. Argumentando de maneira similar para φ^{-1} em lugar de φ , concluimos que φ restrito a seção zero S de T^*S é um difeomorfismo sobre a seção zero Q de T^*Q . Defina

$$f: Q \longrightarrow S$$

por $f = \varphi^{-1}|_Q$. Vamos mostrar que φ preserva fibra ou, equivalentemente, que $f \circ \pi_Q^* = \pi_S^* \circ \varphi^{-1}$. Para isso vamos usar o seguinte lema:

Lema 1.5.7 Defina o fluxo F_t^Q sobre T^*Q por $F_t^Q(\alpha) = e^t \alpha$ e seja V_Q o campo de vetores por ele gerado. Então,

$$\langle \Theta_Q, V_Q \rangle = 0, \quad \pounds_{V_Q} \Theta_Q = \Theta_Q, \quad i_{V_Q} \Omega_Q = -\Theta_Q.$$
 (1.7)

Demonstração Como F_t^Q preserva fibra, V_Q deve ser tangente as fibras e daí, $T_{\pi_Q^*} \circ V_Q = 0$. Isto implica por $\Theta_{\alpha}(v) = <\beta, T_{\pi_Q^*}.v>$ que $<\Theta_Q, V_Q>=0$.

Para provar a segunda fórmula, note que $\pi_Q^* \circ F_t^Q = \pi_Q^*$. Seja $\alpha \in T_q^*Q, v \in T_\alpha(T^*Q)$ e Θ_α denotando Θ_Q calculado em α , temos que

$$\begin{split} ((F_t^Q)^*\Theta)_{\alpha}.v &= \Theta_{F_t^Q(\alpha)}.TF_t^Q(v) \\ &= \langle F_t^Q(\alpha), (T\pi_Q^* \circ TF_t^Q)(v) \rangle \\ &= \langle e^t\alpha, T(\pi_Q^* \circ F_t^Q)(v) \rangle \\ &= e^t \langle \alpha, T\pi_Q^*(v) \rangle \\ &= e^t\Theta_{\alpha}.v \end{split}$$

Isto é,

$$(F_t^Q)^*\Theta_Q = e^t\Theta_Q.$$

Tomando a derivada em relação a t em t=0 obtemos a segunda fórmula. Finalmente, as primeiras duas fórmulas implicam que

$$i_{V_Q}\Omega_Q = -i_{V_Q}d\Theta_Q = \pounds_{V_Q}\Theta_Q + di_{V_Q}\Theta_Q = -\Theta_Q.$$

Agora, continuaremos a prova da proposição 1.5.6.

Note que por (1.7) temos

$$i_{\varphi^* V_Q} \Omega_S = i_{\varphi^* V_Q} \varphi^* \Omega_Q$$

$$= \varphi^* (i_{V_Q} \Omega_Q)$$

$$= -\varphi^* \Theta_Q$$

$$= -\Theta_S$$

$$= i_{V_S} \Omega_S$$

como Ω_S é não degenerada temos que $\varphi^*V_Q = V_S$. Daí φ comuta com os fluxos F_t^Q e F_t^S , isto é, para todo $\beta \in T^*S$ nos temos $\varphi(e^t\beta) = e^t\varphi(\beta)$. Fazendo $t \to -\infty$ nessa igualdade obtemos $(\varphi \circ \pi_S^*)(\beta) = (\pi_Q^* \circ \varphi)(\beta)$, desde que $e^t\beta \to \pi_S^*(\beta)$ e $e^t\varphi(\beta) \to (\pi_Q^* \circ \varphi)((\beta))$ quando $t \to -\infty$. Daí,

$$\pi_Q^* \circ \varphi = \varphi \circ \pi_S^*, \quad ou \quad f \circ \pi_Q^* = \pi_S^* \circ \varphi^{-1}.$$

Finalmente, mostraremos que $T^*f = \varphi$. Para $\beta \in T^*S, v \in T_{\beta}(T^*S)$, temos

que nos mostra que $T^*f=\varphi$, desde que a imagem de $T_\beta(\pi_Q^*\circ v)$ é todo o espaço tangente de $(\pi_Q^*\circ\varphi)(\beta))$ em Q.

1.6 Sistemas lagrangeanos

Nesta seção falaremos de forma breve sobre a teoria que fundamenta a mecânica lagrangeana. Veremos que mesmo formulada sobre um ponto de vista independente daquele da mecânica hamiltoniana, existe uma correspondência entre os dois sistemas.

1.6.1 A transformada de Legendre

Seja V um espaço vetorial de dimensão finita e $\theta: V \to TV^*$ uma forma linear sobre V. Então θ determina uma aplicação $\mathcal{L}: V \to V^*$ definida da seguinte forma: para cada $v \in V$, θ_v é uma forma linear sobre $T_v(V)$; como existe uma identificação natural, ℓ , de T_vV com V (dependendo somente da estrutura de espaço vetorial), temos que $\theta_v \circ \ell^{-1}$ é um funcional linear sobre V, isto é, um elemento de V^* e o denotaremos por $\mathcal{L}(v)$. Suponhamos agora que \mathcal{L} é um difeomorfismo. Então a aplicação inversa $\mathcal{L}^{-1}: V^* \to V$ também vem de uma forma sobre V^* . De fato, para cada $v^* \in V^*$, $\mathcal{L}^{-1}(v^*) \in V$ é uma forma linear sobre V^* e portanto pode ser vista como uma forma linear sobre $T_{v^*}(V^*)$ por conta da identificação de $T_{v^*}(V^*)$ com V^* . Daí, $\mathcal{L}^{-1}(v^*)$ determina um elemento de $T_{v^*}^*(V^*)$ para cada $v^* \in V^*$, isto é, \mathcal{L}^{-1} determina uma forma θ^* sobre V^* . Claramente pela construção feita $\mathcal{L}^{-1}: V^* \longrightarrow V$ é determinada por θ^* .

Se $d\theta = 0$ então $d\theta^* = 0$. De fato, seja $e_1, ..., e_n$ uma base de V e $dq_1, ..., dq_n$ a base dual associada de V^* e sejam $q = (q_1, ..., q_n) \in V$ e $p = (p_1, ..., p_n) \in V^*$ tais que $\mathcal{L}(q) = p$. Se $\theta = \sum_i \theta_i dq_i$ então $\mathcal{L}(q_1, ..., q_n) = (\theta_1(q_1, ..., q_n), ..., \theta_n(q_1, ..., q_n))$ e desta maneira, se $\theta = dL$, a aplicação \mathcal{L} é dada por

$$\mathcal{L}(q_1, ..., q_n) = (\frac{\partial L}{\partial q_1}(q_1, ..., q_n), ..., \frac{\partial L}{\partial q_n}(q_1, ..., q_n)).$$
(1.8)

Agora, seja H uma função definida sobre V^* por

$$H(p) = \langle p, \mathcal{L}^{-1}(p) \rangle - L(\mathcal{L}^{-1}(p))$$

ou

$$H(p_1, ..., p_n) = \sum_i p_i q_i - L(q_1, ..., q_n)$$
(1.9)

onde em (1.9), os $q_i's$ são vistos como função dos $p_i's$ via \mathcal{L}^{-1} . Assim,

$$dH(p_1, ..., p_n) = \sum_i q_i dp_i + \sum_i p_i dq_i - \sum_i \frac{\partial L}{\partial q_i} dq_i$$

e por (1.8)

$$\frac{\partial L}{\partial q_i}(q_1,...,q_n) = p_i(q_1,...,q_n)$$

com isso,

$$dH(p_1, ..., p_n) = \sum_i q_i dp_i$$

e desta maneira,

$$\theta^* = dH$$
.

Agora, seja Q uma variedade diferenciável e $L:TQ\longrightarrow\mathbb{R}$ uma função diferenciável. Para cada ponto $q\in Q,\,T_qQ$ é um espaço vetorial e assim, pela construção acima, $L|_{T_qQ}$ induz uma aplicação $\mathbb{F}L_q:T_qQ\longrightarrow T_q^*Q$. Com isso, teremos uma aplicação

$$\mathbb{F}L:TQ\longrightarrow T^*Q\quad tal\ que\ \mathbb{F}L|_{T_qQ}=\mathbb{F}L_q$$

está aplicação é chamada transformada de Legendre (correspondente a L).

Se $q_1, ..., q_n$ são coordenadas locais em uma vizinhança $U \subseteq Q$, então nos podemos introduzir coordenadas $(q_1, ..., q_n, \dot{q}_1, ..., \dot{q}_n)$ em $\pi_Q^{-1}(U) \subseteq TQ$. As coordenadas são definidas por

$$q_i(v) = q_i(\pi(v))$$

e os \dot{q}_i 's são determinados por

$$v = \sum_{i} \dot{q}_{i}(v) \left(\frac{\partial}{\partial q_{i}}\right)_{\pi(v)}.$$

De forma analóga, sobre T^*Q temos coordenadas locais $(q_1,...,q_n,p_1,...,p_n)$ onde os p_i 's são dados por

$$\theta^* = \sum_i p_i(\theta^*) (dq_i)_{\pi^*(\theta^*)}.$$

Em termos dessas coordenadas a transformação $\mathbb{F}L$ é dada por

$$q_i = q_i \circ \mathbb{F}L$$

e

$$p_i \circ \mathbb{F}L = \frac{\partial L}{\partial \dot{q}_i}$$

onde $L = L(q_1, ..., q_n, \dot{q}_1, ..., \dot{q}_n).$

Se $\mathbb{F}L$ é uma aplicação regular, a função L é chamada lagrangeano regular e no caso de $\mathbb{F}L$ ser um difeomorfismo a função L é chamada lagrangeano hiperregular. Neste caso, para todo $v \in TQ$, a aplicação $\mathbb{F}L^{-1}$ vem de uma função H. Aqui H é dada por (1.9) e depende da escolha de v.

1.6.2 Formulação lagrangeana

Definição 1.6.1 Sejam Θ a 1-forma simplética canônica de T^*Q e Ω a 2-forma simplética canônica de T^*Q . Usando a transformada de Legendre $\mathbb{F}L$ podemos obter uma 1-forma Θ_L e uma 2-forma fechada Ω_L sobre TQ definidas da seguinte maneira

$$\Theta_L = \mathbb{F}L^*\Theta \quad e \quad \Omega_L = \mathbb{F}L^*\Omega.$$

Chamaremos Θ_L de 1-forma lagrangeana e Ω_L de 2-forma lagrangeana. Além disso, como d comuta com o pull-back, temos

$$\Omega_L = -d\Theta_L$$
.

Proposição 1.6.2 Sejam Q uma variedade $e L \in \mathcal{F}(Q)$. Então L é um lagrangeano regular se e somente se $\mathbb{F}L$ é um difeomorfismo local, se e somente se Ω_L é uma forma simplética sobre TQ.

Demonstração Devido ao teorema 1.2.3, é suficiente mostrarmos que L é lagrangiano regular $\iff \mathbb{F}L$ é um difeomorfismo local. De fato,

 $L \notin regular \iff T_q \mathbb{F}L \notin sobrejetiva, para todo q \in TQ$

 \iff $T_q\mathbb{F}L \ \acute{e} \ um \ isomorfismo, \ para \ todo \ q \in TQ$

Logo, pelo teorema da função inversa, concluimos que L é regular $\iff \mathbb{F}L$ é um difeomorfismo local. \blacksquare

Definição 1.6.3 Dado $L: TQ \longrightarrow \mathbb{R}$, a ação de L é a aplicação $A: TQ \longrightarrow \mathbb{R}$ definida por $A(v) = \mathbb{F}L(v)v$ e a energia de L é E = A - L.

Em coordenadas locais,

$$A(q, \dot{q}_i) = \dot{q}_i \frac{\partial L}{\partial \dot{q}_i} = p_i \dot{q}_i,$$

$$E(q, \dot{q}_i) = \dot{q}_i \frac{\partial L}{\partial \dot{q}_i} - L(q, \dot{q}_i)$$

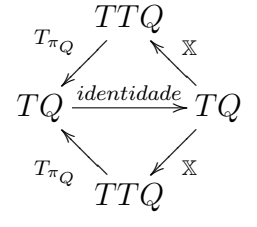
$$E(q, \dot{q}_i) = \dot{q}_i \frac{\partial L}{\partial \dot{q}_i} - L(q, \dot{q}_i).$$

Definição 1.6.4 Um campo de vetores lagrangeano para L é um campo de vetores X_E sobre TQ tal que $\Omega_L(X_E, \bullet) = dE$.

Os campos de vetores lagrangeanos possuem a propriedade especial de serem equações de segunda ordem. Uma das grandes diferenças entre a formulação hamiltoniana e lagrangeana é que equações de segunda ordem são possíveis sobre TQ, mas não sobre T^*Q .

Definição 1.6.5 Uma equação de segunda ordem sobre uma variedade Q é um campo de vetores \mathbb{X} sobre TQ tal que $T_{\pi_Q} \circ \mathbb{X}$ é a identidade sobre TQ.

Daí, se \mathbb{X} é uma equação de segunda ordem sobre Q temos o seguinte diagrama comutativo:



A próxima proposição caracteriza as equações de segunda ordem através de suas curvas integrais.

Proposição 1.6.6 Seja \mathbb{X} um campo de vetores sobre TQ. Então \mathbb{X} é uma equação de segunda ordem sobre Q se e somente se para toda curva integral $c: I \longrightarrow TQ$ de \mathbb{X} , $(\pi_Q \circ c)' = c$.

Demonstração Para cada $w \in TQ$ existe uma curva $c: I \longrightarrow TQ$ em w tal que $c'(t) = \mathbb{X}(c(t))$, para todo $t \in I$. Daí,

$$T_{\pi_O} \circ \mathbb{X} \ \acute{e} \ a \ identidade \iff T_{\pi_O} \circ c'(t) = c(t)$$

Mas,

$$T_{\pi_Q} \circ c'(t) = T_{\pi_Q} \circ Tc(t, 1),$$

$$= T(\pi_Q \circ c)(t, 1),$$

$$= (\pi_Q \circ c)'(t).$$

Logo, \mathbb{X} é uma equação de segunda ordem se e somente se $(\pi_Q \circ c)' = c$, para toda curva integral $c: I \longrightarrow TQ$ de \mathbb{X} .

Definição 1.6.7 Se $c: I \longrightarrow TQ$ é uma curva integral de um campo de vetores \mathbb{X} sobre TQ, chamaremos a aplicação $\pi_Q \circ c: I \longrightarrow Q$ uma curva integral de base de \mathbb{X} . De forma análoga, se \mathbb{X} é um campo de vetores sobre T^*Q e $c: I \longrightarrow T^*Q$ é uma curva integral de \mathbb{X} então a aplicação $\pi_Q^* \circ c: I \longrightarrow Q$ é chamada uma curva integral de base de \mathbb{X} .

Daí, um campo de vetores \mathbb{X} é uma equação de segunda ordem sobre Q se e somente se para toda curva integral c de \mathbb{X} , c é igual a derivada de sua curva integral de base. O próximo resultado fornece um critério simples para equações de segunda ordem em termo de coordenadas locais.

Proposição 1.6.8 Seja $\mathbb{X} \in \mathfrak{X}(TQ)$ e (U,φ) uma carta de Q com $\varphi(U) = U' \subseteq \mathbb{R}^n$. Suponha que a representação local de \mathbb{X} tem a forma

$$\mathbb{X}_{\varphi}: U' \times \mathbb{R}^n \longrightarrow U' \times \mathbb{R}^n \times \mathbb{R}^n \times \mathbb{R}^n$$

 $(u', e) \mapsto \mathbb{X}_{\varphi}(u', e) = (u', e, \mathbb{X}_1(u', e), X_2(u'.e))$

Então \mathbb{X} é uma equação de segunda ordem se e somente se, para toda carta, $\mathbb{X}_1(u',e) = e$ para todo $e \in \mathbb{R}^n$.

Demonstração Consideremos a carta (U, φ) com $\varphi(U) = U'$. Desta forma, temos que

$$(\pi_Q)_{\varphi}: U' \times \mathbb{R}^n \longrightarrow U'$$

 $(u', e) \mapsto u'$

 \mathbf{e}

$$(T_{\pi_Q})_{\varphi}: U' \times \mathbb{R}^n \times \mathbb{R}^n \times \mathbb{R}^n \longrightarrow U' \times \mathbb{R}^n$$

 $(u', e, e_1, e_2) \mapsto (u', e_1).$

Mas,

$$(T_{\pi_Q})_{\varphi} \circ \mathbb{X}_{\varphi} = identidade \ se \ T_{\pi_Q} \circ \mathbb{X} = identidade \ \Longleftrightarrow \ \mathbb{X}_1(u',e) = e.$$

Teorema 1.6.9 Sejam X_E um campo de vetores para $L: TQ \longrightarrow \mathbb{R}$ (não necessariamente regular). Assuma que X_E é uma equação de segunda ordem. Em uma carta $U \times E$, se (u(t), v(t)) é uma curva integral de X_E , ela satisfaz a equação de Lagrange

$$\begin{cases} \frac{d}{dt}u(t) = v(t) \\ \frac{d}{dt}\{D_2L(u(t), v(t))w\} = D_1L(u(t), v(t))w \end{cases}$$

para todo $w \in E$. Em coordenadas locais elas são equivalentes as equações clássicas de Euler-Lagrange

 $\frac{d}{dt}(\frac{\partial L}{\partial \dot{q}_i}) = \frac{\partial L}{\partial q_i}.$

Demonstração Ver [1].

1.6.3 Relação entre a formulação lagrangeana e hamiltoniana

Como comentado no início do capítulo, existe uma identificação entre os sistemas lagrangeano e hamiltoniano atráves da transformada de Legendre. O interessante dessa

identificação é que em termos práticos ela se resume a uma mudança de coordenadas entre os dois sistemas mecânicos. Não entraremos em detalhe sobre as demonstrações dos resultados que iremos apresentar. Para isso, recomendamos a referência [1].

A transição da formulação lagrangeana para a hamiltoniana é dada como segue:

Teorema 1.6.10 Seja L um Lagrangeano hiperregular sobre Q e seja $H = E \circ (\mathbb{F}L)^{-1}$: $T^*Q \longrightarrow \mathbb{R}$, onde E é a energia de L. Então \mathbb{X}_E e \mathbb{X}_H são $\mathbb{F}L$ -relacionados, isto é, $(\mathbb{F}L)_*\mathbb{X}_E = \mathbb{X}_H$ e as curvas integrais de \mathbb{X}_E são aplicadas por $\mathbb{F}L$ nas curvas integrais de \mathbb{X}_H . Além disso, \mathbb{X}_E e \mathbb{X}_H tem a mesma curva integral de base.

Usando a notação em coordenadas (1.9), verifica-se que a transformação $F\mathbb{L}$ converte as equações de Lagrange nas equações de Hamilton. Para fazer a construção reversa precisamos dos seguintes resultados:

Proposição 1.6.11 Seja L um lagrangeano hiperregular sobre Q e seja $H = E \circ (\mathbb{F}L)^{-1}$, onde E é a energia de L. Então $\Theta(\mathbb{X}_H) = A \circ (\mathbb{F}L)^{-1}$, onde A é a ação de L, e Θ é a 1-forma canônica.

Corolário 1.6.12 Seja L um lagrangeano hiperregular sobre Q e $\Theta_L = \mathbb{F}L^*\Theta$. Então $A = \Theta_L(\mathbb{X}_E)$, onde E é a energia e A a ação de L.

Essa última proposição diz que podemos obter L se conhecemos $\mathbb{F}L$ e E. Se $H \in \mathcal{F}(T^*Q)$, pela construção feita na seção (1.6.1), temos $\mathbb{F}H: T^*Q \to T^{**}Q \approx TQ$. Desta forma, podemos fazer agora a transição para a formulação lagrangeana.

Proposição 1.6.13 Seja $H \in \mathcal{F}(T^*Q)$. Então $\mathbb{F}H$ é um difeomorfismo local se e somente se \mathbb{F}^2H é não degenerada. Neste caso, diremos que H é um hamiltoniano regular.

Definição 1.6.14 A ação de $H \in \mathcal{F}(T^*Q)$ será definida por $G = \Theta(X_H)$.

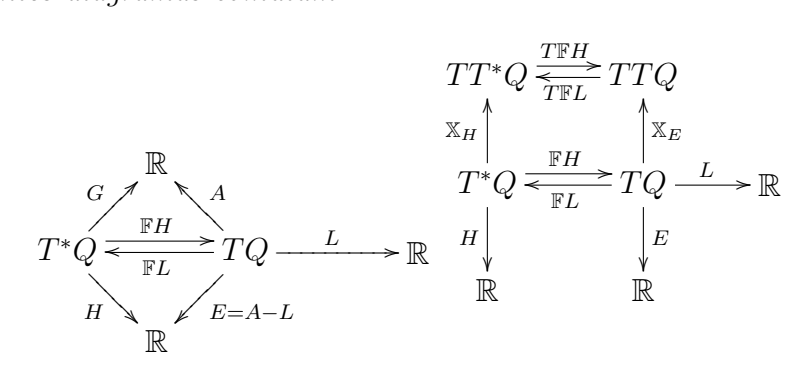
Definição 1.6.15 Uma função $H \in T^*Q$ é chamada hamiltoniano hiperregular se a aplicação $\mathbb{F}H : T^*Q \longrightarrow TQ$ é um difeomorfismo.

Proposição 1.6.16 Seja H um hamiltoniano hiperregular sobre T^*Q . Defina $E = H \circ (\mathbb{F}H)^{-1}$, $A = G \circ (\mathbb{F}H)^{-1}$ e L = A - E. Então L é um lagrangeano hiperregular sobre TQ. De fato, $\mathbb{F}L = (\mathbb{F}H)^{-1}$.

O resultado inverso da proposição 1.6.16 é:

Proposição 1.6.17 Seja L um lagrangeano hiperregular sobre TQ e seja $H = E \circ (\mathbb{F}L)^{-1}$. Então H é um Hamiltoniano hiperregular e $\mathbb{F}H = (\mathbb{F}L)^{-1}$.

Teorema 1.6.18 Existe uma correspondência bijetiva entre o lagrangeano hiperregular L sobre TQ e o hamiltoniano hiperregular H sobre T^*Q da seguinte forma: H é construído de L como no teorema 1.6.10 e L é construído de H como na proposição 1.6.16. Além disso, os seguintes diagramas comutam:



1.7 Princípio variacional

Definição 1.7.1 Seja Q uma variedade $eL: TQ \to \mathbb{R}$ um lagrangeano regular. Fixe os pontos q_1 e q_2 em Q e um intervalo [a,b] e seja

$$\Omega(q_1, q_2, [a, b]) = \{c : [a, b] \to \mathbb{R} \mid c \text{ \'e uma curva } C^2 \text{ com } c(a) = q_1 \text{ e } c(b) = q_2\}$$

chamado o espaço das curvas de q_1 a q_2 . Definimos a aplicação

$$J: \Omega(q_1, q_2, [a, b]) \to \mathbb{R} \quad por \quad J(c) = \int_a^b L(c(t), \dot{c}(t)) dt.$$

O conjunto $\Omega(q_1, q_2, [a, b])$ é uma variedade C^{∞} de dimensão infinita.

Proposição 1.7.2 O espaço tangente da variedade $\Omega(q_1, q_2, [a, b])$ em um ponto, isto é uma curva $c \in \Omega(q_1, q_2, [a, b])$, é dado como segue:

 $T_c\Omega(q_1,q_2,[a,b])=\{v:[a,b]\to TQ\mid v\ \'e\ uma\ aplicacao\ C^2,\ \pi_Q\circ\ v=c\ e\ v(a)=v(b)=0\}$ onde $\pi_Q:TQ\to Q\ denota\ a\ projeção\ canônica.$

Demonstração O espaço tangente de uma variedade consiste de todos os vetores tangentes a curvas na variedade. Assim, considere uma curva $c_{\lambda} \in \Omega(q_1, q_2, [a, b])$ com $c_0 = c$. Desta forma um vetor tangente é dado por

$$v = \frac{dc_{\lambda}}{d\lambda} \Big|_{\lambda=0}.$$

Mas, $c_{\lambda}(t)$ para cada t é uma curva passando por $c_0(t) = c(t)$ daí, v é um vetor tangente a Q no ponto c(t). Assim, $v(t) \in T_{c(t)}Q$, isto é, $\pi_Q \circ v = c$. Além disso, as restrições $c_{\lambda}(a) = q_1$ e $c_{\lambda}(b) = q_2$ induzem v(a) = 0 e v(b) = 0 e v é uma aplicação de classe C^2 .

Proposição 1.7.3 O funcional $J(c) = \int_a^b L(c(t), \dot{c}(t)) dt$ é diferenciável e sua diferencial, em coordenadas locais, é dada por

$$dJ(c).v = \int_{a}^{b} \sum_{i} \left(\frac{\partial L}{\partial q_{i}} - \frac{d}{dt} \frac{\partial L}{\partial \dot{q}_{i}}\right).v_{i}dt$$

onde, em coordenadas locais, $c(t) = (q_1(t), ..., q_n(t))$ e $v(t) = (v_1(t), ..., v_n(t))$.

Demonstração Seja $v = \frac{dc_{\lambda}}{d\lambda}\Big|_{\lambda=0}$ um vetor tangente a curva $c_{\lambda} \in \Omega(q_1, q_2, [a, b])$ com $c_0 = c$. Pela regra da cadeia,

$$dJ(c)v = \frac{dJ(c_{\lambda})}{d\lambda}\Big|_{\lambda=0}$$

$$= \frac{d}{d\lambda} \int_{a}^{b} L(c_{\lambda}(t), \dot{c}_{\lambda}(t))dt\Big|_{\lambda=0}.$$
(1.10)

Diferenciando (1.10) sobre o sinal da integral e usando coordenadas locais temos que

$$dJ(c)v = \int_{a}^{b} \sum_{i} \left(\frac{\partial L}{\partial q_{i}} v_{i} + \frac{\partial L}{\partial \dot{q}_{i}} \dot{v}_{i}\right) dt.$$

Mas, integrando por partes,

$$\int_{a}^{b} \frac{\partial L}{\partial \dot{q}_{i}} \dot{v}_{i} dt = \frac{\partial L}{\partial \dot{q}_{i}} v_{i} \Big|_{a}^{b} - \int_{a}^{b} \frac{d}{dt} \frac{\partial L}{\partial \dot{q}_{i}} v_{i} dt$$
$$= - \int_{a}^{b} \frac{d}{dt} \frac{\partial L}{\partial \dot{q}_{i}} v_{i} dt$$

pois, v(a) = 0 e v(b) = 0. Logo,

$$dJ(c).v = \int_{a}^{b} \sum_{i} \left(\frac{\partial L}{\partial q_{i}} - \frac{d}{dt} \frac{\partial L}{\partial \dot{q}_{i}}\right).v_{i}dt. \quad \blacksquare$$

Definição 1.7.4 Dizemos que uma curva $c \in \Omega(q_1, q_2, [a, b])$ é um extremal do funcional $J : \Omega(q_1, q_2, [a, b]) \to \mathbb{R}$ se dJ(c) = 0, ou seja, se dJ(c).v = 0, para todo $v \in T_c\Omega(q_1, q_2, [a, b])$.

Classicamente, a condição dJ(c)=0 é denotada por $\delta \int_a^b L(c(t),\dot{c}(t))dt=0$. O próximo resultado é de grande importância no estudo do cálculo das variações.

Teorema 1.7.5 (Príncipio variacional de Hamilton) Seja L um lagrangeano regular sobre TQ. A curva $c \in \Omega(q_1, q_2, [a, b])$ é uma curva integral de base do campo de

vetores X_E (campo de vetores lagrangeano para L), isto é, satisfaz (em coordenadas locais) as equações de Lagrange

 $\frac{d}{dt}(\frac{\partial L}{\partial \dot{q}_i}) = \frac{\partial L}{\partial q_i}$

se e somente se é um extremal do funcional $J: \Omega(q_1, q_2, [a, b]) \to \mathbb{R}$ onde, em coordenadas locais, $c(t) = (q_1(t), ..., q_n(t))$.

Demonstração A condição dJ(c) = 0 significa que dJ(c).v = 0 para todo $v \in T_c\Omega(q_1, q_2, [a, b])$ e isto ocorre se e somente se

$$\frac{d}{dt}(\frac{\partial L}{\partial \dot{q}_i}) = \frac{\partial L}{\partial q_i}$$

desde que v é arbitrário, v(a) = v(b) = 0 e o integrando é contínuo. \blacksquare

A versão do teorema acima para sistemas hamiltonianos é o seguinte:

Teorema 1.7.6 (Príncipio variacional de Hamilton no espaço de fases) Considere a variedade configuracional Q e o hamiltoniano $H: T^*Q \longrightarrow \mathbb{R}$. A curva $(q_1, ..., q_n, p_1, ..., p_n)$ em T^*Q satisfaz as equações de Hamilton se e somente se

$$\delta \int_{a}^{b} [\Sigma_{i} p_{i} \dot{q}_{i} - H(q_{1}, ..., q_{n}, p_{1}, ..., p_{n})] dt = 0$$

Demonstração Ver [7]. ■

1.8 Funções geradoras

Considere um difeomorfismo simplético $\varphi:T^*Q_1\to T^*Q_2$ descrito pelas funções

$$p_i = p_i(q_j, s_j)$$
 , $r_i = r_i(q_j, s_j)$ (1.11)

¹Esse resultado segue do lema: Se f(t) é uma função contínua sobre [a,b], então $\int_a^b f(t)g(t)dt = 0$ para toda função $g \in C^k$, com g(a) = g(b) = 0 se e somente se f = 0.

onde (q_i, p_i) e (s_j, r_j) são coordenadas cotangentes sobre T^*Q_1 e T^*Q_2 , respectivamente. Em outras palavras, assuma que nos temos uma aplicação

$$\Gamma: Q_1 \times Q_2 \to T^*Q_1 \times T^*Q_2$$

cuja imagem é o gráfico de φ . Seja Θ_1 a 1-forma sobre T^*Q_1 e Θ_2 a 1-forma sobre T^*Q_2 . Pela definição de simplectomorfismo,

$$d(\Theta_1 - \varphi^*\Theta_2) = 0$$

isto implica por (1.11) que

$$\Sigma_i(p_i dq_i - r_i ds_i)$$

é fechada. Da mesma forma, $\Gamma^*(\Theta_1 - \Theta_2)$ é fechada. Esta condição é mantida (e implica localmente pelo lema de Poincaré) se $\Gamma^*(\Theta_1 - \Theta_2)$ é exata, isto é,

$$\Gamma^*(\Theta_1 - \Theta_2) = dS \tag{1.12}$$

para uma função S(q,s). Em coordenadas (1.12) escreve-se

$$p_i dq_i - r_i ds_i = \frac{\partial S}{\partial q_i} dq_i + \frac{\partial S}{\partial s_i} ds_i,$$

que é equivalente a

$$p_i = \frac{\partial S}{\partial q_i}$$
 , $r_i = -\frac{\partial S}{\partial s_i}$. (1.13)

Nos chamaremos S de função geradora para a transformação canônica φ . Naturalmente, presupor uma outra relação em (1.11) nos leva a uma conclusão diferente em (1.13).

Em geral considere um difeomorfismo $\varphi: P_1 \to P_2$, onde (P_1, Ω_1) , (P_2, Ω_2) são variedades simpléticas, e denote o gráfico de φ por $\Gamma(\varphi) \subseteq P_1 \times P_2$. Seja $i_{\varphi}: \Gamma(\varphi) \to P_1 \times P_2$ a inclusão e seja $\Omega = \pi_1^* \Omega_1 - \pi_2^* \Omega_2$, onde $\pi_i: P_1 \times P_2 \to P_i$ é a projeção . Primeiro verificaremos que φ é simplética se e somente se $i_{\varphi}^* \Omega = 0$. De fato, desde que $\pi_1 \circ i_{\varphi} = \varphi \circ \pi_1$ sobre $\Gamma(\varphi)$, segue que

$$i_{\varphi}^*\Omega = (\pi_1|_{\Gamma(\varphi)})^*(\Omega_1 - \varphi^*\Omega_2)$$

e daí $i_{\varphi}^*\Omega = 0$ se e somente se φ é simplética pois, $\pi_1|_{\Gamma(\varphi)}$ é injetiva.

Agora suponhamos a escolha de uma 1-forma Θ tal que $\Omega = -d\Theta$. Então $i_{\varphi}^*\Omega = -di_{\varphi}^*\Theta = 0$, deste modo localmente sobre $\Gamma(\varphi)$ existe uma função $S: \Gamma(\varphi) \to \mathbb{R}$ tal que

$$i_{\omega}^*\Theta = dS.$$

Isto define a função geradora da transformação canônica φ .

Desde que $\Gamma(\varphi)$ é difeomorfo a P_1 e também a P_2 , podemos olhar S como uma função de P_1 ou P_2 . Se $P_1 = T^*Q_1$ e $P_2 = T^*Q_2$, podemos igualmente olhar (ao menos localmente) S como definida sobre $Q_1 \times Q_2$. Nesse caminho, a construção geral de funções geradoras reduz-se ao caso das equações (1.13).

Exemplo: Seja $f: P_1 \longrightarrow P_2$ com coordenadas canônicas $(Q_1, ..., Q_n, P_1, ..., P_n)$ e $(q_1, ..., q_n, p_1, ..., p_n)$ sobre P_1 e P_2 , respectivamente, e considere

$$\Theta_1 = \sum_i P_i dQ_i, \quad \Theta_2 = \sum_i p_i dq_i.$$

Então escrevendo

$$f(Q_1,...,Q_n,P_1,...,P_n) = (q_1,...,q_n,p_1,...,p_n)$$

e tomando S como função de $(q_1,...,q_n,Q_1,...,Q_n)$, a relação $i_f^*\Theta=-dS$ se escreve

$$p_i = \frac{\partial S}{\partial q_i}, \qquad P_i = -\frac{\partial S}{\partial Q_i}.$$

Agora, seja

$$f: \mathbb{R}^2 \longrightarrow \mathbb{R}^2$$

dada por

$$Q = (\frac{p}{\pi\omega})^{1/2} sen(2\pi q)$$

$$P = (\frac{p\omega}{\pi\omega})^{1/2} sen(2\pi q)$$

$$P = (\frac{p\omega}{\pi})^{1/2} cos(2\pi q).$$

Então f é simplética fora de p=0, isto é, $dP\wedge dQ=dp\wedge dq$ e podemos escolher

$$S(q,Q) = -\frac{1}{2}\omega Q^2 \cot g(2\pi q).$$

Daí, S gera uma transformação canônica que leva o hamiltoniano do oscilador harmônico $H(Q,P)=\frac{1}{2}(P^2+\omega^2Q^2)$ no hamiltoniano $H^*(q,p)=(\frac{\omega}{2\pi})p$ cujas curvas integrais são facilmente encontradas.

1.9 Teoria de Hamilton-Jacobi

Na seção anterior estudamos um pouco de funções geradoras de transformações canônicas; agora tentaremos fazer uma conexão das mesmas com o fluxo do sistema hamiltoniano via a equação de Hamilton-Jacobi. Para isso, comecaremos com o princípio variacional

$$\delta \int_{a}^{b} L(q_i(t), \dot{q}_i(t))dt = 0 \tag{1.14}$$

e observamos que se a derivada total em relação ao tempo de uma função é adicionada a L, a condição (1.14) não se altera, desde que a função tenha valor fixo em t=a e t=b. Se $S(q,q_0,t-t_0)$ é uma função de $q,q_0\in Q$, podemos trocar L por

$$\overline{L} := L - \frac{dS}{dt} = L - \frac{\partial S}{\partial q_i} \dot{q}_i - \frac{\partial S}{\partial t}$$
(1.15)

sem alterar (1.14). Isto é consistente com o fato de que as equações de Euler-Lagrange para $\frac{dS}{dt}$ são satisfeitas, de forma que as equações de Euler-Lagrange para L e $L-\frac{dS}{dt}$ também são satisfeitas (dizemos que $\frac{dS}{dt}$ é um lagrangeano nulo). O momento para L é

$$p_i = \frac{\partial L}{\partial \dot{q}_i}$$

enquanto que para \overline{L} é

$$\overline{p}_i = \frac{\partial \overline{L}}{\partial \dot{q}_i}.\tag{1.16}$$

O hamiltoniano para \overline{L} é $\overline{H}=\overline{p}_i\dot{q}_i-\overline{L}$ e por (1.15) e (1.16), temos

$$\overline{H} = H + \frac{\partial S}{\partial t}. ag{1.17}$$

O novo hamiltoniano assumirá uma forma bem simples se exigirmos que $\overline{H} = constante$ e $\overline{p} = 0$. Notemos que $\overline{p} = 0$ significa $p_i = \frac{\partial S}{\partial q_i}$, que é uma das equações definindo uma função geradora. Daí, (1.17) se escreve

$$H(q_1, ..., q_n, \frac{\partial S}{\partial q_1}, ..., \frac{\partial S}{\partial q_n}) + \frac{\partial S}{\partial t} = constante$$

que é a equação de Hamilton-Jacobi.

Nosso objetivo agora é encontrar uma transformação simplética φ tal que o novo hamiltoniano esteja totalmente em equilíbrio, isto é, $H \circ \varphi = E = constante$, deste modo Q_i e P_i podem ser tratadas como constantes de integração para $H \circ \varphi$. O próximo resultado resume a situação.

Teorema 1.9.1 Seja $P = T^*Q$ com a estrutura simplética $\Omega = -d\Theta$. Seja X_H um campo de vetores hamiltoniano sobre P, e seja $S: Q \longrightarrow \mathbb{R}$. Então as seguintes condições são equivalentes:

(i) Para toda curva c(t) em Q satisfazendo

$$c'(t) = T_{\tau_O^*} \mathbb{X}_H(dS(c(t)))$$

a curva $t \mapsto dS(c(t))$ é uma curva integral de X_H .

(ii) S satisfaz a equação de Hamilton-Jacobi $H \circ dS = E$, isto \acute{e} ,

$$H(q_i, \frac{\partial S}{\partial q_i}) = E.$$

Demonstração Assuma (ii) e seja p(t) = dS(c(t)), onde c(t) satisfaz a equação estabelecida. Então, pela regra da cadeia,

$$p'(t) = TdS(c(t)).c'(t)$$

$$= TdS(c(t)).T_{\tau_Q^*} \mathbb{X}_H(dS(c(t)))$$

$$= T(dS \circ \tau_Q^*).\mathbb{X}_H(dS(c(t)))$$

Agora usaremos a seguinte identidade simplética:

Lema 1.9.2 Em T^*Q temos, para toda função $S:Q \longrightarrow \mathbb{R}$,

$$\Omega(T(dS \circ \tau_Q^*).v, w) = \Omega(v, w - T(dS \circ \tau_Q^*).w)$$

Com isso, para todo $w \in T_{p(t)}P$,

$$\begin{split} \Omega(T(dS \circ \tau_Q^*).\mathbb{X}_H(p(t)), w) &= \Omega(\mathbb{X}_H(p(t)), w) - \Omega(\mathbb{X}_H(p(t)), T(dS \circ \tau_Q^*).w) \\ &= \Omega(\mathbb{X}_H(p(t)), w) - dH(p(t))TdS(p(t))w. \quad \Box \end{split}$$

Mas, do fato que $dH(p(t))TdS(p(t)) = d(H \circ dS)(p(t))$ e assumindo (ii) temos

$$T(dS \circ \tau_O^*).\mathbb{X}_H(p(t)) = \mathbb{X}_H(p(t)). \tag{1.18}$$

De forma análoga, mostra-se que $(i) \Rightarrow (ii)$.

1.9.1 O problema do oscilador harmônico como um exemplo do método de Hamilton-Jacobi

Tentaremos ilustrar como funciona em coordenadas a técnica de Hamilton-Jacobi para resolver o movimento de um sistema mecânico. Para isso, trabalharemos o problema simples de um oscilador Harmônico unidimensional. O Hamiltoniano é

$$H = \frac{1}{2m}(p^2 + m^2\omega^2 q) = E$$
, onde $\omega = \sqrt{\frac{k}{m}}$.

Primeiro obtemos a equação de Hamilton-Jacobi para S fazendo $p=\frac{\partial S}{\partial q}$ e substituindo no Hamiltoniano. Com isso,

$$\frac{1}{2m} \left[\left(\frac{\partial S}{\partial q} \right)^2 + m^2 \omega^2 q \right] + \frac{\partial S}{\partial t} = 0 \tag{1.19}$$

como a dependência explicita de S em relação a t está envolvida somente no último termo, uma solução de (1.19) pode ser expressa na forma

$$S(q, \alpha, t) = W(q, \alpha) - \alpha t$$

onde α é uma constante de integração. Com está escolha de solução o tempo pode ser eliminado da equação (1.19)

$$\frac{1}{2m} \left[\left(\frac{\partial W}{\partial q} \right)^2 + m^2 \omega^2 q^2 \right] = \alpha. \tag{1.20}$$

A constante de integração α é desta maneira identificada com a energia total E. Isto é verificado diretamente da equação (1.19) e da relação

$$\frac{\partial S}{\partial t} + H = 0$$

que se reduz para

$$H = \alpha$$
.

Da equação (1.20) temos que

$$\frac{\partial W}{\partial g} = \sqrt{2m\alpha - m^2\omega^2 q^2},$$

e integrando chegamos a

$$W = \sqrt{2m\alpha} \int \sqrt{1 - \frac{m\omega^2 q^2}{2\alpha}} \, dq.$$

Com isso,

$$S = \sqrt{2m\alpha} \int \sqrt{1 - \frac{m\omega^2 q^2}{2\alpha}} \, dq - \alpha t.$$

Como desejamos não S mas sim suas derivadas parciais. A solução para q surge da equação

$$\beta = \frac{\partial S}{\partial \alpha} = \sqrt{\frac{m}{2\alpha}} \int \frac{dq}{\sqrt{1 - \frac{m\omega^2 q^2}{2\alpha}}} - t$$

e integrando temos

$$t + \beta = \frac{1}{\omega} \arcsin\left(q\sqrt{\frac{m\omega^2}{2\alpha}}\right).$$

Logo,

$$q = \sqrt{\frac{2\alpha}{m\omega^2}} \operatorname{sen}[\omega(t+\beta)]$$

que é uma solução familiar de um oscilador harmônico. A solução para o momento p pode ser obtida por

$$p = \frac{\partial S}{\partial q} = \frac{\partial W}{\partial q} = \sqrt{2m\alpha - m^2\omega^2 q^2}$$
$$= \sqrt{2m\alpha(1 - sen^2\omega(t + \beta))}$$
$$= \sqrt{2m\alpha}\cos\omega(t + \beta).$$

Para terminarmos, as constantes α e β devem estar conectadas com as condições iniciais q_0 e p_0 e o tempo t=0. Como

$$\alpha = \frac{1}{2m}(p^2 + m^2\omega^2 q^2)$$

temos que, nas condições iniciais,

$$2m\alpha = p_0^2 + m^2\omega^2 q_0^2$$
.

Da mesma forma,

$$tg \,\omega(t+\beta) = \frac{sen \,\omega(t+\beta)}{cos \,\omega(t+\beta)} = m\omega \frac{q}{p}$$

e nas condições iniciais obtemos

$$tg \ \omega = m\omega \frac{q_0}{p_0}.$$

Assim, a função S é a geradora de uma transformação canônica para uma nova coordenada que mede o ângulo de fase do oscilador e um novo momento canônico identificado como a energia total do sistema.

Capítulo 2

Introdução aos grupos de Lie

2.1 Grupos de Lie

Definição 2.1.1 Um Grupo de Lie é uma variedade diferenciável G que possui uma estrutura de grupo consistente com sua estrutura de variedade do ponto de vista que a multiplicação de grupo

$$\mu: G \times G \longrightarrow G$$

$$(g,h) \mapsto gh$$

e a aplicação inversão

$$\begin{array}{ccc} I:G & \longrightarrow & G \\ g & \mapsto & g^{-1} \end{array}$$

são aplicações diferenciáveis.

Definição 2.1.2 Definiremos as aplicações

$$L_g: G \longrightarrow G$$
 , $R_h: G \longrightarrow G$
 $h \mapsto gh$ $q \mapsto gh$

e as chamaremos de translação à esquerda e translação à direita, respectivamente.

Algumas propriedades das translações:

- 1. $L_{g_1} \circ L_{g_2} = L_{g_1g_2}$, $R_{h_1} \circ R_{h_2} = R_{h_2h_1}$;
- 2. Se $e \in G$ é o elemento identidade de G, então $L_e = R_e = id$;
- 3. $(L_g)^{-1} = L_{g^{-1}}$, $(R_h)^{-1} = R_{h^{-1}}$;

De 1, 2 e 3 concluimos que L_g e R_h são difeomorfismos.

- 4. $L_g \circ R_h = R_h \circ L_g$;
- 5. $T_{gh}L_{g^{-1}}\circ T_hL_g=T_h(L_{g^{-1}}\circ L_g)=id$, ou seja, T_hL_g é um isomorfismo.

Exemplos:

a) Todo espaço vetorial V é um grupo de Lie abeliano com operações:

$$\mu: G \times G \longrightarrow G$$
 , $I: G \longrightarrow G$
 $\mu(x,y) = x+y$ $I(x) = -x$

Este grupo de Lie é chamado grupo vetorial.

b) $GL(n,\mathbb{R}) = \{ \varphi \mid \varphi : \mathbb{R}^n \longrightarrow \mathbb{R}^n \text{ \'e um isomorfismo linear} \}$ \'e um grupo de Lie de dimensão n^2 , chamado grupo linear.

Dada uma carta de G, podemos construir um atlas sobre um grupo de Lie G usando a translação à esquerda (ou à direita). Suponha, por exemplo, que (U, φ) é uma carta no ponto $e \in G$, e que $\varphi : U \longrightarrow V$. Defina uma carta (U_g, φ_g) no ponto $g \in G$ escrevendo

$$U_g = L_g(U) = \{L_g h \mid h \in U\}$$

e definindo

$$\varphi_g = \varphi \circ L_{g^{-1}} : U_g \longrightarrow V$$

$$h \mapsto \varphi(g^{-1}h).$$

O conjunto das cartas $\{(U_g, \varphi_g)\}$ forma um atlas de G e a diferenciabilidade das aplicações de transição

$$\varphi_{g_1} \circ \varphi_{g_2}^{-1} = \varphi \circ L_{g_1^{-1}g_2} \circ \varphi^{-1} : \varphi_2(U_{g_1} \cap U_{g_2}) \longrightarrow \varphi_1(U_{g_1} \cap U_{g_2})$$

segue da diferenciabilidade da multiplicação e inversão de Grupo.

2.1.1 Campo de vetores invariantes

Definição 2.1.3 Um campo de vetores X sobre G é chamado invariante à esquerda se para todo $g \in G$ nos temos $L_g^*X = X$, isto é, se

$$(T_h L_q) X(h) = X(gh)$$

para todo $h \in G$.

Denotaremos por $\mathfrak{X}(G)$ o conjunto de todos os campos de vetores sobre G, $\mathfrak{X}_L(G)$ o conjunto de todos os campos de vetores invariantes à esquerda sobre G e $\mathfrak{X}_R(G)$ o conjunto de todos os campos de vetores invariantes à direita sobre G.

Proposição 2.1.4 O conjunto $\mathfrak{X}_L(G)$ é uma subálgebra de Lie de $\mathfrak{X}(G)$.

Demonstração Dados $X, Y \in \mathfrak{X}_L(G)$ e $g \in G$ temos que

$$L_g^*[X,Y]=[L_g^*X,L_g^*Y]=[X,Y]$$

e com isso, $[X,Y] \in \mathfrak{X}_L(G)$.

Logo, $\mathfrak{X}_L(G)$ é uma subálgebra de Lie de $\mathfrak{X}(G)$. \blacksquare

Definição 2.1.5 Dado $\xi \in T_eG$, definiremos o campo de vetores X_{ξ} sobre G por

$$X_{\xi}(g) = T_e L_g(\xi).$$

Proposição 2.1.6 X_{ξ} é um campo de vetores invariante à esquerda.

Demonstração Dados $\xi \in T_eG$ e $g, h \in G$ temos que

$$X_{\xi}(gh) = T_e L_{gh}(\xi)$$

$$= T_e (L_g \circ L_h)(\xi)$$

$$= T_h L_g (T_e L_h(\xi))$$

$$= T_h L_g (X_{\xi}(h)).$$

Logo, X_ξ é um campo invariante à esquerda. \blacksquare

Proposição 2.1.7 Os espaços vetoriais $\mathfrak{X}_L(G)$ e $T_e(G)$ são isomorfos.

Demonstração Consideremos as aplicações lineares

$$\phi_1: \ \mathfrak{X}_L(G) \longrightarrow T_eG \quad , \quad X \mapsto X(e)$$

$$\phi_2: \quad T_eG \longrightarrow \mathfrak{X}_L(G) \quad , \quad \xi \mapsto X_{\xi}$$

Como

$$\phi_1(\phi_2(\xi)) = \phi_1(X_{\xi}) = X_{\xi}(e) = \xi$$
 e $\phi_2(\phi_1(X)) = \phi_2(X(e)) = X_{X(e)} = X$

temos que

$$\phi_1 \circ \phi_2 = id_{T_eG}$$
 e $\phi_2 \circ \phi_1 = id_{\mathfrak{X}_T(G)}$.

Logo, ϕ_1 e ϕ_2 definem um isomorfismo linear entre $\mathfrak{X}_L(G)$ e $T_e(G)$.

Portanto, $\mathfrak{X}_L(G)$ e $T_e(G)$ são espaços vetoriais isomorfos.

2.1.2 A álgebra de Lie de um grupo de Lie

Definição 2.1.8 Definiremos o colchete de Lie sobre T_eG por

$$[\xi,\eta] := [X_{\xi}, X_{\eta}](e)$$

onde $\xi, \eta \in T_eG$.

Com esse colchete, o espaço tangente T_eG torna-se uma álgebra de Lie. Dizemos então que definimos um colchete em T_eG via extensão à esquerda. Notemos que,

$$[X_{\xi}, X_{\eta}] = X_{[\xi, \eta]},$$

para todo $\xi, \eta \in T_eG$.

Definição 2.1.9 O espaço vetorial T_eG com essa estrutura de álgebra de Lie é chamado a álgebra de Lie de G. Denotaremos essa álgebra por \mathfrak{g} .

Exemplo:

A álgebra de Lie de $GL(n,\mathbb{R})$, denotada por $\mathfrak{gl}(n)$, é o espaço vetorial das transformações de \mathbb{R}^n , $L(\mathbb{R}^n,\mathbb{R}^n)$, com o colchete comutador

$$[A, B] = AB - BA.$$

Para mostrar isso, vamos calcular o colchete. Primeiro, notemos que para todo $\xi \in L(\mathbb{R}^n, \mathbb{R}^n)$

$$X_{\xi}: GL(n,\mathbb{R}) \longrightarrow L(\mathbb{R}^n,\mathbb{R}^n)$$

$$A \mapsto A\xi$$

é um campo de vetores invariante à esquerda sobre $GL(n,\mathbb{R})$. De fato, para todo $B\in GL(n,\mathbb{R})$, a aplicação

$$L_B:GL(n,\mathbb{R})\longrightarrow GL(n,\mathbb{R})$$

definida por $L_B(A) = BA$ é uma aplicação linear e

$$X_{\xi}(L_B(A)) = BA\xi = T_A L_B X_{\xi}(A).$$

Portanto, pela fórmula local

$$[X,Y](x) = DY(x).X(x) - DX(x).Y(x)$$

temos que

$$\begin{aligned} [\xi, \eta] &= [X_{\xi}, X_{\eta}](I) \\ &= DX_{\eta}(I).X_{\xi}(I) - DX_{\xi}(I).X_{\eta}(I) \\ &= \xi \eta - \eta \xi \end{aligned}$$

desde que $DX_{\eta}(I).X_{\xi}(I) = \xi.\eta$ pela linearidade de $X_{\eta}(A) = A\eta$ em A.

2.1.3 Subgrupos a um parâmetro e a aplicação exponencial

Sabemos que se X_{ξ} é o campo de vetores invariante à esquerda correspondente a $\xi \in \mathfrak{g}$ então existe uma única curva integral $\gamma_{\xi} : \mathbb{R} \longrightarrow G$ de X_{ξ} passando pela identidade e, isto é, $\gamma_{\xi}(0) = e$ e $\gamma'_{\xi}(t) = X_{\xi}(\gamma_{\xi}(t))$.

Definição 2.1.10 A aplicação $exp : \mathfrak{g} \longrightarrow G$ definida por $exp(\xi) = \gamma_{\xi}(1)$, é chamada a aplicação exponencial da álgebra de Lie \mathfrak{g} em G.

Exemplos:

a) Seja G=V um grupo vetorial, isto é, V é um espaço vetorial e a operação de grupo é a adição de vetores. Então $\mathfrak{g}=V$ e $exp:V\longrightarrow V$ é a aplicação identidade definida por exp(v)=v para todo $v\in V$.

b) Seja
$$G=GL(n,\mathbb{R})$$
 e $\mathfrak{g}=L(\mathbb{R}^n,\mathbb{R}^n)$. Para todo $A\in L(\mathbb{R}^n,\mathbb{R}^n)$, a aplicação
$$\gamma_A:\mathbb{R}\longrightarrow GL(n,\mathbb{R})$$

definida por

$$t \mapsto \sum_{i=0}^{\infty} \frac{t^i}{i!} A^i$$

é um subgrupo a um parâmetro, pois

$$\gamma_A(0) = I$$

$$\gamma'_A(t) = \sum_{i=1}^{\infty} \frac{t^{i-1}}{(i-1)!} A^i = \gamma_A(t) A.$$

Portanto, a aplicação exponencial é dada por

$$exp: L(\mathbb{R}^n, \mathbb{R}^n) \longrightarrow GL(n, \mathbb{R})$$

$$A \mapsto \gamma_A(1) = \sum_{i=0}^{\infty} \frac{A^i}{i!} = e^A.$$

Definição 2.1.11 Seja $\gamma: \mathbb{R} \longrightarrow G$ uma curva satisfazendo

$$\gamma(s+t) = \gamma(s)\gamma(t)$$
 para todo $s, t \in \mathbb{R}$

Chamaremos a curva γ de subgrupo a um parâmetro de G.

Proposição 2.1.12 Seja $\gamma : \mathbb{R} \longrightarrow G$ um subgrupo a um parâmetro contínuo de G, então γ é suave e $\gamma(t) = exp(t\xi)$ para algum $\xi \in \mathfrak{g}$ e para todo $t \in \mathbb{R}$.

Demonstração Ver [7]. ■

2.1.4 Homomorfismo de grupos

Definição 2.1.13 Um homomorfismo $f: G \longrightarrow H$ entre grupos de Lie G e H é uma aplicação diferenciável tal que para todo $g, h \in G$, f(gh) = f(g)f(h).

Definição 2.1.14 Dados os campos de vetores X e Y e um difeomorfismo $f: G \to H$. Diremos que X e Y são f-relacionados se satisfazem a identidade

$$f_*X = Y$$
.

onde $X \in TG$ e $Y \in TH$.

Proposição 2.1.15 Seja G e H grupos de Lie com álgebras de Lie \mathfrak{g} e \mathfrak{h} , respectivamente. Se $f: G \longrightarrow H$ é um homomorfismo entre grupos de Lie então $T_e f: \mathfrak{g} \longrightarrow \mathfrak{h}$ é um homomorfismo entre álgebras de Lie, isto é,

$$(T_e f[\xi, \eta]) = [T_e f(\xi), T_e f(\eta)]$$

para todo $\xi, \eta \in \mathfrak{g}$. Além disso, $f \circ exp_G = exp_H \circ T_e f$.

Demonstração Desde que f é um homomorfismo, $f \circ L_g = L_{f(g)} \circ f$. Daí, $Tf \circ TL_g = TL_{f(g)} \circ Tf$ donde temos que

$$X_{T_e f(\xi)}(f(g)) = T_g f(X_{\xi}(g))$$

isto é, os campos de vetores X_{ξ} e $X_{T_{e}f(\xi)}$ são f-relacionados. Segue que os campos de vetores $[X_{\xi}, X_{\eta}]$ e $[X_{T_{e}f(\xi)}, X_{T_{e}f(\eta)}]$ também são f-relacionados para todo $\xi, \eta \in \mathfrak{g}$. Daí,

$$T_{e}f([\xi, \eta]) = (Tf \circ [X_{\xi}, X_{\eta}])(e)$$
$$= [X_{T_{e}f(\xi)}, X_{T_{e}f(\eta)}](\bar{e})$$
$$= [T_{e}f(\xi), T_{e}f(\eta)]$$

onde $e = e_G$ e $\bar{e} = e_H = f(e)$.

Isso implica que $T_e f$ é um isomorfismo de álgebras de lie. Fixando $\xi \in \mathfrak{g}$, notemos que

$$\alpha: t \mapsto f(exp_G(\xi t))$$

 $\beta: t \mapsto exp_H(tT_e f(\xi))$

são subgrupos a um parâmetro de H. Além disso,

$$\alpha'(0) = T_e f(\xi) = \beta'(0).$$

Desde que α e β são subgrupos a um parâmetro de H, elas satisfazem a mesma edo de primeira ordem, e pelo teorema de existência e unicidade, $\alpha(t) = \beta(t)$. para todo $t \in \mathbb{R}$ Em particular,

$$f(exp_G\xi) = exp_H(T_ef(\xi))$$

para todo $\xi \in \mathfrak{g}$.

Corolário 2.1.16 Sejam $f_1, f_2 : G \longrightarrow H$ homomorfismos entre grupos de Lie e suponha que G é conexo. Se $T_e f_1 = T_e f_2$ então $f_1 = f_2$.

Demonstração Seja (U_e, φ) uma carta canônica em $e \in G$ e $U = U_e$ então, pela proposição (2.1.15), para $a = exp(\xi) \in U$ temos que

$$f_1(a) = f_1(exp(\xi))$$

$$= exp(T_e f_1(a))$$

$$= exp(T_e f_2(a))$$

$$= f_2(a).$$

Desde que U gera G e f_1, f_2 são homomorfismos, $f_1 = f_2$.

Definição 2.1.17 Para todo $g \in G$, considere a aplicação

$$I_g: G \longrightarrow G$$

 $h \mapsto I_g(h) = ghg^{-1}.$

Chamaremos essa aplicação de automorfismo interno associado a g. Claramente, I_g é diferenciável e é um homomorfismo pois,

$$I_q(hk) = ghkg^{-1} = ghg^{-1}gkg^{-1} = I_q(h)I_q(k).$$

Definição 2.1.18 Chamaremos de aplicação adjunta associada a g a seguinte aplicação

$$Ad_g: \mathfrak{g} \longrightarrow \mathfrak{g}$$

$$\xi \mapsto Ad_g(\xi) = T_e I_g(\xi)$$

Definição 2.1.19 Da mesma forma, chamaremos de aplicação coadjunta associada com g a aplicação

$$\begin{array}{rcl} Ad_g^*: \mathfrak{g}^* & \longrightarrow & \mathfrak{g}^* \\ < Ad_g^*(\eta), \xi > & = & <\eta, Ad_g(\xi) > \end{array}$$

onde \mathfrak{g}^* é o dual da álgebra de Lie de G.

Lema 2.1.20 Para todo $\xi \in \mathfrak{g}$ e $g \in G$

$$exp(Ad_q\xi) = g(exp\xi)g^{-1}.$$

Demonstração Considere o diagrama

$$\begin{array}{c|c}
\mathfrak{g} & \xrightarrow{TI_g} & \mathfrak{g} \\
exp & \downarrow & exp \\
G & \xrightarrow{I_g} & G
\end{array}$$

Desde que I_g é um homomorfismo, temos que o diagrama é comutativo então, para $\xi \in \mathfrak{g}, g \in G$, temos que

$$gexp(\xi)g^{-1} = exp(Ad_q\xi)$$

como desejado. ■

2.1.5 Subgrupos de Lie

Definição 2.1.21 Um subgrupo de Lie H de um grupo de Lie G é um subgrupo de G que é também uma subvariedade imersa de G. Se H é uma subvariedade de G, então H é chamado um subgrupo de Lie regular.

Teorema 2.1.22 Se H é um subgrupo fechado de um grupo de Lie G, então H é uma subvariedade de G e em particular H é um subgrupo de Lie regular de G.

Demonstração Ver [3]. ■

Teorema 2.1.23 Seja G um grupo de Lie com álgebra de Lie \mathfrak{g} , e seja \mathfrak{h} uma subálgebra de Lie de \mathfrak{g} . Então existe um subgrupo de Lie conexo H de G cuja álgebra de Lie $\acute{\mathfrak{g}}$ $\acute{\mathfrak{h}}$.

Demonstração Ver [3].

2.1.6 Quocientes

Seja H um subgrupo fechado de um grupo de Lie G. Denotaremos por G/H o conjunto de todas as classes laterais à esquerda, isto é, a coleção $\{gH \mid g \in G\}$.

Teorema 2.1.24 Seja $\pi: G \longrightarrow G/H$ a projeção definida por $\pi(g) = gH$. Existe uma única estrutura de variedade diferenciável sobre G/H tal que a projeção π é uma submersão.

Demonstração Ver [1]. ■

2.2 Alguns grupos de Lie clássicos

2.2.1 O grupo linear real, $GL(n, \mathbb{R})$

Definição 2.2.1 Chamaremos de grupo linear real o conjunto

$$GL(n,\mathbb{R})=\{A\in L(\mathbb{R}^n,\mathbb{R}^n)|det(A)\neq 0\}.$$

É importante destacarmos que $GL(n,\mathbb{R})$ é aberto em $L(\mathbb{R}^n,\mathbb{R}^n)$ (e desta forma é não compacto), que sua álgebra de Lie é $\mathfrak{gl}(n,\mathbb{R})$ com o colchete comutador e que a aplicação determinante

$$det: GL(n, \mathbb{R}) \longrightarrow \mathbb{R}$$

aplica $GL(n,\mathbb{R})$ sobre duas componentes conexas de $\mathbb{R}-\{0\}$ e, com isso, $GL(n,\mathbb{R})$ é não conexo. Defina

$$GL^{+}(n,\mathbb{R}) := \{A \in Gl(n,\mathbb{R}) \mid det(A) > 0\} \ \ e \ \ GL^{-}(n,\mathbb{R}) := \{A \in Gl(n,\mathbb{R}) \mid det(A) < 0\}.$$

Podemos resumir a discursão na seguinte proposição.

Proposição 2.2.2 O grupo $GL(n,\mathbb{R})$ é um grupo de Lie n^2 dimensional não compacto, desconexo e cuja álgebra de Lie $\mathfrak{gl}(n,\mathbb{R})$ consiste de todas as matrizes $n \times n$ com o colchete

$$[A, B] = AB - BA.$$

O grupo $GL(n,\mathbb{R})$ tem duas componentes conexas. A saber, $GL^+(n,\mathbb{R})$ e $GL^-(n,\mathbb{R})$.

Demonstração Ver [7]. ■

2.2.2 O grupo linear real especial, $SL(n, \mathbb{R})$

Considere a aplicação determinante

$$det: L(\mathbb{R}^n, \mathbb{R}^n) \longrightarrow \mathbb{R}$$

e o grupo linear real

$$GL(n, \mathbb{R}) = \{ A \in L(\mathbb{R}^n, \mathbb{R}^n) | det(A) \neq 0 \}.$$

Notemos que $\mathbb{R} - \{0\}$ é um grupo multiplicativo e que

$$det: GL(n, \mathbb{R}) \longrightarrow \mathbb{R} - \{0\}$$

é um homomorfismo de grupos de Lie desde que det(AB) = det(A)det(B).

Lema 2.2.3 A aplicação det: $L(\mathbb{R}^n, \mathbb{R}^n) \longrightarrow \mathbb{R}$ é C^{∞} , e sua derivada é dada por

$$Ddet(A)B = det A.traço(A^{-1}B).$$

Demonstração Primeiro observemos que

$$det(A + \lambda B) = det(A.(I + \lambda A^{-1}B))$$

$$= det(A).det(I + \lambda A^{-1}B)$$

$$= det(A).(1 + \lambda traço A^{-1}B + ... + \lambda^n traço A^{-1}B)$$

Assim,

$$Ddet(A)B = \frac{d}{d\lambda}\Big|_{\lambda=0} det(A+\lambda B))$$

$$= det(A)(\operatorname{traço} A^{-1}B + 2\lambda \operatorname{traço} A^{-1}B + \dots + n\lambda^{n-1} \operatorname{traço} A^{-1}B)\Big|_{\lambda=0}$$

$$= det(A).\operatorname{traço} A^{-1}B. \quad \blacksquare$$

Definição 2.2.4 Definiremos o grupo linear real especial por

$$SL(n,\mathbb{R}) = \{A \in GL(n,\mathbb{R}) | det(A) = 1\}$$

= $det^{-1}(1)$.

2.2.3 O grupo ortogonal, O(n)

Considere em \mathbb{R}^n o produto interno canônico

$$\langle x, y \rangle = \sum_{i=1}^{n} x_i y_i$$

onde $x=(x_1,...,x_n)\in\mathbb{R}^n,y=(y_1,...,y_n)\in\mathbb{R}^n$. Relembrando, uma matriz A é ortogonal se e somente se

$$AA^T = I \iff < Ax, Ay > = < x, y > \iff ||Ax|| = ||x||$$

para todo $x, y \in \mathbb{R}^n$.

Definição 2.2.5 Definimos o grupo ortogonal como sendo o conjunto

$$O(n) := \{ A \in L(\mathbb{R}^n, \mathbb{R}^n) \mid A \text{ \'e ortogonal} \}.$$

Proposição 2.2.6 A álgebra de Lie $\mathfrak{o}(n)$ de O(n) é o espaço das matrizes anti-simétricas $n \times n$ com o colchete

$$[A, B] = AB - BA.$$

Demonstração ver [7].

2.2.4 O grupo ortogonal especial, SO(n)

Definição 2.2.7 Definimos o grupo ortogonal especial como sendo o conjunto

$$SO(n) = O(n) \cap SL(n, \mathbb{R})$$

= $\{A \in O(n) | det A = 1\}$

Vamos destacar dois grupos ortogonais interessantes.

Grupo de rotações no plano, SO(2)

Consideremos o conjunto $\mathbb{S}^1=\{x\in\mathbb{R}^2\mid \|x\|=1\}$ parametrizado pelo ângulo polar $\theta,\,0\leq\theta\leq 2\pi.$ Para cada $\theta\in[0,2\pi],$ seja

$$A_{\theta} = \begin{pmatrix} \cos\theta & -\sin\theta \\ \sin\theta & \cos\theta \end{pmatrix}.$$

A matriz A_{θ} representa uma rotação de angulo θ no sentido antí-horário e além disso, $A_{\theta} \in SO(2)$ pois, $A_{\theta}.A_{\theta}^{T} = I$.

Agora, seja $A \in SO(2)$ e assuma que $A = \begin{pmatrix} a & b \\ c & d \end{pmatrix}$. Por definição, $A.A^T = I$ e isso implica que

$$a^2 + b^2 = 1$$
, $c^2 + d^2 = 1$, $ac + bd = 0$.

Donde, temos que existe $\theta \in [0, 2\pi]$ tal que

$$a = d = cos\theta, \ b = -sen\theta, \ c = sen\theta.$$

Portanto,

$$A = \begin{pmatrix} \cos\theta & -\sin\theta \\ \sin\theta & \cos\theta \end{pmatrix}.$$

Assim, concluimos que o conjunto SO(2) é o conjunto das rotações no plano e podemos identificá-lo como um grupo de Lie de \mathbb{S}^1 .

A álgebra de Lie de SO(3)

Agora mostraremos que a álgebra de Lie de SO(3) é isomorfa a álgebra de Lie de (\mathbb{R}^3, \times) , onde \times denota o produto vetorial usual. Para isso definiremos o isomorfismo entre álgebras de Lie,

$$\widehat{} : (\mathfrak{so}(3), [,]) \longrightarrow (\mathbb{R}^3, \times)$$

$$A \mapsto \widehat{A}$$

onde
$$A = \begin{pmatrix} 0 & -a_3 & a_2 \\ a_3 & 0 & -a_1 \\ -a_2 & a_1 & 0 \end{pmatrix}$$
, $\widehat{A} = (a_1, a_2, a_3)$ e mostraremos que
$$\widehat{[A, B]} = [\widehat{A}, \widehat{B}] = \widehat{A} \times \widehat{B} \quad para\ todo\ A, B \in \mathfrak{so}(3).$$

Primeiro observemos que um elemento da algebra de Lie de SO(3) é uma matriz antisimétrica. Daí, um vetor tangente A na identidade do grupo deve satisfazer a condição $A^T=-A$. Isso segue se tomarmos uma curva

$$\gamma: J \longrightarrow SO(3)$$

com $\gamma(0)=I,\,\dot{\gamma}(0)=A.$ Essa curva satisfaz $\gamma(t)^T\cdot\gamma(t)=I;$ diferenciando e calculando em t=0 temos

$$\dot{\gamma}(0)^T \cdot \gamma(0) + \gamma(0)^T \cdot \dot{\gamma}(0) = 0 \iff A^T + A = 0 \iff A^T = -A.$$

Agora, para

$$A = \begin{pmatrix} 0 & -v_3 & v_2 \\ v_3 & 0 & -v_1 \\ -v_2 & v_1 & 0 \end{pmatrix} \in \mathfrak{so}(3)$$

$$B = \begin{pmatrix} 0 & -w_3 & w_2 \\ w_3 & 0 & -w_1 \\ -w_2 & w_1 & 0 \end{pmatrix} \in \mathfrak{so}(3)$$

temos

$$[A,B] = AB - BA$$

$$= \begin{pmatrix} 0 & v_2w_1 - v_1w_2 & v_3w_1 - v_1w_3 \\ -v_2w_1 + v_1w_2 & 0 & v_3w_2 - v_2w_3 \\ -v_3w_1 + v_1w_3 & -v_3w_2 + v_2w_3 & 0 \end{pmatrix} \in \mathfrak{so}(3).$$

Além disso,

$$\widehat{A} \times \widehat{B} = (v_1, v_2, v_3) \times (w_1, w_2, w_3)$$

= $(v_2w_3 - v_3w_2, v_3w_1 - v_1w_3, v_1w_2 - v_2w_1).$

Logo,
$$\widehat{[A,B]} = (v_2w_3 - v_3w_2, v_3w_1 - v_1w_3, v_1w_2 - v_2w_1) = \widehat{A} \times \widehat{B}.$$

2.3 Ação de grupos de Lie

Definição 2.3.1 Seja M uma variedade diferenciável. Uma ação do grupo de Lie G sobre M é uma aplicação diferenciável $\Phi: G \times M \longrightarrow M$ tal que:

- i) $\Phi(e, x) = x$ para todo $x \in M$;
- ii) $\Phi(g,\Phi(h,x)) = \Phi(gh,x)$ para todo $g,h \in M$ $e \ x \in M$.

Exemplos:

- a) Se H é um subgrupo de um grupo de Lie G, então $\Phi: H \times G \longrightarrow G$ definida por $\Phi(h,g)=hg$ é uma ação de H sobre G.
- b) O círculo unitário no plano complexo $\mathbb{S}^1=\{z\in\mathbb{C}\mid \|z\|=1\}$ é um grupo de Lie abeliano com a operação de multiplicação. O espaço tangente $T_e\mathbb{S}^1$ é paralelo ao eixo imaginário, e nos identificaremos \mathbb{R} com $T_e\mathbb{S}^1$ por $t\mapsto 2\pi it$. Desde modo, a aplicação exponencial é dada por

$$exp: \mathbb{R} \longrightarrow \mathbb{S}^1$$

$$t \mapsto e^{2\pi i t}$$

e
$$exp^{-1}(1) = \mathbb{Z}$$
.

O grupo \mathbb{S}^1 age sobre \mathbb{C}^2 com

$$\Phi: \mathbb{S}^1 \times \mathbb{C}^2 \longrightarrow \mathbb{C}^2$$

definida por $\Phi(e^{i\theta},(z_1,z_2))=(e^{i\theta}z_1,e^{-i\theta}z_2)$. As condições

i)
$$\Phi(1,(z_1,z_2)) = 1.(z_1,z_2)$$

ii)
$$\Phi(e^{i\theta}, \Phi(e^{i\beta}, (z_1, z_2))) = \Phi(e^{i\theta}, (e^{i\beta}z_1, e^{-i\beta}z_2))$$

 $= (e^{i(\theta+\beta)}z_1, e^{-i(\theta+\beta)}z_2)$
 $= \Phi(e^{i(\theta+\beta)}, (z_1, z_2))$

mostram que Φ é uma ação.

Agora, para todo $g \in G$ seja $\Phi_g : M \longrightarrow M$ definida por $\Phi_g(x) = \Phi(g, x)$ temos que: de i) $\Phi_e = id_M$ e de ii) $\Phi_{gh} = \Phi_g \circ \Phi_h$. Isto nos dá que $(\Phi_g)^{-1} = \Phi_{g^{-1}}$ donde concluimos que a aplicação Φ_g é um difeomorfismo.

Definição 2.3.2 Seja Φ uma ação de G em M. Para todo $x \in M$, a órbita (ou Φ -órbita) de x é definida por

$$G \cdot x = \{ \Phi_q(x) \mid g \in G \}.$$

Definição 2.3.3 Uma ação é chamada:

- i) Transitiva se possui somente uma órbita ou, de forma equivalente, se para todo $x, y \in M$ existe um $g \in M$ tal que $g \cdot x = y$;
 - ii) Efetiva se $\Phi_g = id_M$ implica g = e; isto é, $g \mapsto \Phi_g$ é injetiva;
- iii) Livre se não possui pontos fixos, isto é, $\Phi_g(x) = x$ implica que g = e ou, de forma equivalente, se para cada $x \in M$, $g \mapsto \Phi_g(x)$ é injetiva.

Definição 2.3.4 Sejam $\Phi: G \times M \longrightarrow M$ uma ação $e \ x \in M$. O conjunto

$$G_x = \{ g \in G \mid \Phi_q x = x \}$$

é chamado grupo de isotropia de Φ em x.

Notemos que uma ação é livre se $G_x = \{e\}$ para todo $x \in M$, e que toda ação livre é efetiva. De forma natural uma ação Φ de um grupo G sobre uma variedade M define uma relação de equivalência dada da seguinte forma: Dados $x, y \in M$, diremos que $x \sim y$ se existe um $g \in G$ tal que $g \cdot x = y$, isto é se $x \in G \cdot y$ (e daí $y \in G \cdot x$). Denotaremos a classe do elemento x por [x] e chamaremos o conjunto $M/G = \{[x] \mid x \in M\}$, das classe de equivalência, de espaço das 'orbitas.

Agora, consideremos a aplicação

$$\pi: M \longrightarrow M/G$$
$$x \mapsto G \cdot x.$$

Vamos munir M/G com uma estrutura topológica dada pela topologia quociente definindo um conjunto $U \subseteq M/G$ como sendo aberto em M/G se e somente se $\pi^{-1}(U)$ é aberto em Q. Essa topologia em geral não torna M/G um espaço de Hausdorff. Para mais detalhes ver [1].

O próximo resultado nos dá uma condição para que o espaço M/G seja de Hausdorff.

Proposição 2.3.5 Seja $\Phi: G \times M \longrightarrow M$ uma ação de um grupo de Lie G e seja $R = \{(m, \Phi_g m) \in M \times M \mid (g, m) \in G \times M\}$. Se R é um subconjunto fechado de $M \times M$, então a topologia quociente de M/G é Hausdorff.

Demonstração Ver [1]. ■

Um caminho natural a seguir é o de tentarmos garantir que o espaço das órbitas M/G possui uma estrutura de variedade diferenciável e uma condição necessária e suficiente para isso é dada pelo seguinte resultado:

Teorema 2.3.6 Se G age sobre M e $R = \{(m, \Phi_g m) \in M \times M \mid (g, m) \in G \times M\}$. Então R é uma subvariedade fechada de $M \times M$ se e somente se M/G tem uma estrutura de variedade diferenciável tal que $\pi : M \longrightarrow M/G$ é uma submersão.

Demonstração Ver [1]. ■

Corolário 2.3.7 Seja H um subgrupo fechado de um grupo de Lie~G. Se $\Phi: H \times G \longrightarrow G$ é definida por $\Phi(h,g) = hg$, então G/H é uma variedade diferenciável $e~\pi: G \longrightarrow G/H$ é uma submersão.

Demonstração Ver [1]. ■

Definição 2.3.8 Uma ação $\Phi: G \times M \longrightarrow M$ é chamada própria se e somente a aplicação $\tilde{\Phi}: G \times M \longrightarrow M \times M$ definida por $\tilde{\Phi}(g,x) = (x,\Phi(g,x))$ é própria, isto é, se $K \subseteq M \times M$ é compacto, então $\tilde{\Phi}^{-1}(K)$ é compacto. Equivalentemente, se x_n converge em M e $\Phi_{g_n}x_n$ converge em M, então g_n tem uma subsequência convergente em G.

Desde que $G_x = \Phi_x^{-1}(x)$ e a aplicação $\Phi_x : G \longrightarrow M$ definida por $\Phi_x(g) = \Phi(g,x)$ é contínua, G_x é um subgrupo fechado de G e portanto é uma subvariedade diferenciável. Se a ação é própria então G_x é compacto. Como $\Phi_x(gh) = \Phi_g \circ \Phi_h x = \Phi_g x$ para todo $h \in G_x$, Φ_x induz uma aplicação $\tilde{\Phi}_x : G/G_x \longrightarrow G \cdot x \subseteq M$, definida por $\tilde{\Phi}_x(gG_x) = \Phi_g x$. Esta aplicação é injetiva porque se $\Phi_g x = \Phi_h x$, então $g^{-1}h \in G_x$, isto é, $gG_x = hG_x$.

Corolário 2.3.9 Se $\Phi: G \times M \longrightarrow M$ é uma ação e $x \in M$, então $\tilde{\Phi}_x: G/G_x \longrightarrow G \cdot x \subseteq M$ é uma imersão. Se Φ é própria, a órbita $G \cdot x$ é uma subvariedade fechada de M e $\tilde{\Phi}_x$ é um difeomorfismo.

Demonstração Ver [1]. ■

Corolário 2.3.10 Se Φ é uma ação transitiva de G sobre M, então para todo $x \in M$, $G \cdot x = M$ e teremos $M \cong_{diff} G/G_x$.

Demonstração Ver [1]. ■

Definição 2.3.11 No caso do corolário acima, a variedade M é chamada espaço homogêneo.

Proposição 2.3.12 Se $\Phi: G \times M \longrightarrow M$ é uma ação livre e própria, então M/G é uma variedade diferenciável e $\pi: M \longrightarrow M/G$ é uma submersão.

Demonstração Ver [1]. ■

Definição 2.3.13 Suponha que $\Phi: G \times M \longrightarrow M$ é uma ação sobre M. Se $\xi \in T_eG$, então a aplicação $\Phi^{\xi}: \mathbb{R} \times M \longrightarrow M$ definida por $\Phi^{\xi}(t,x) = \Phi(exp(t\xi),x)$ é uma \mathbb{R} -ação sobre M, isto é, Φ^{ξ} é um fluxo sobre M. O correspondente campo de vetores sobre M dado por

$$\xi_M(x) = \frac{d}{dt} \Phi(exp(t\xi), x)|_{t=0}$$

é chamado o gerador infinitesimal da ação correspondente a ξ .

Antes de passarmos a um exemplo, considere a definição:

Definição 2.3.14 Seja $\Phi: G \times T_eG \longrightarrow T_eG$ definida por $\Phi(g, \eta) = Ad_g \eta = T_e(R_{g^{-1}}L_g)\eta$, então Φ é uma ação chamada ação adjunta de G sobre T_eG .

Exemplos:

a) Considere a ação adjunta de G sobre T_eG . Se $\xi \in T_eG$ então temos que $\xi_{T_eG} = ad_{\xi}$, onde

$$ad: T_eG \times T_eG \longrightarrow T_eG$$

 $(\xi, \eta) \mapsto ad(\xi, \eta) = [\xi, \eta].$

De fato, seja $\phi_t(g) = g.exp(t\xi) = R_{exp(t\xi)}g$, o fluxo de X_{ξ} . Então

$$[\xi, \eta] = [X_{\xi}, X_{\eta}](e)$$

$$= \frac{d}{dt} T_{\phi_t(e)} \phi_{-t} X_{\eta}(\phi_t(e))|_{t=0}$$

$$= \frac{d}{dt} T_{exp(t\xi)} R_{exp(-t\xi)} X_{\eta}(exp(t\xi))|_{t=0}$$

$$= \frac{d}{dt} T_{exp(t\xi)} R_{exp(-t\xi)} T_e L_{exp(t\xi)} \eta|_{t=0}$$

$$= \frac{d}{dt} T_e (L_{exp(t\xi)} R_{exp(-t\xi)}) \eta|_{t=0}.$$

Portanto

$$\xi_{T_eG}(\eta) = \frac{d}{dt} A d_{exp(t\xi)} \eta|_{t=0} = [\xi, \eta] = a d_{\xi} \eta.$$

Corolário 2.3.15 Seja $\Phi: G \times M \longrightarrow M$ uma ação sobre M. Para todo $g \in G$ e $\xi, \eta \in T_eG$ temos

- $i) (Ad_g \xi)_M = \Phi_{g^{-1}}^* \xi_M \quad e$
- $(ii) [\xi_M, \eta_M] = -[\xi, \eta]_M.$

Demonstração Ver [1]. ■

Definição 2.3.16 Sejam M e N variedades e G um grupo de Lie. Sejam Φ e Ψ ações de G sobre M e N, respectivamente, e $f: M \longrightarrow N$ uma aplicação diferenciável. Dizemos que f é equivariante com respeito a essas ações se para todo $g \in G$,

$$f \circ \Phi_g = \Psi_g \circ f$$

isto é, o seguinte diagrama comuta.

$$M \xrightarrow{f} N$$

$$\Phi_g \downarrow \qquad \qquad \downarrow \Psi_g$$

$$M \xrightarrow{f} N$$

Proposição 2.3.17 Seja $f: M \longrightarrow N$ uma função equivariante com respeito as ações Φ e Ψ de G sobre M e N, respectivamente. Então para todo $\xi \in \mathfrak{g}$,

$$Tf \circ \xi_M = \xi_N \circ f$$

onde ξ_M e ξ_N denotam os geradores infinitesimais de M e N, respectivamente, associados com ξ ; em outras palavras, o seguinte diagrama comuta:

$$\begin{array}{c|c}
M & \xrightarrow{f} N \\
\xi_M & & \downarrow \xi_N \\
M & \xrightarrow{Tf} N
\end{array}$$

Demonstração Pela equivariância,

$$f \circ \Phi_{exp(t\xi)} = \Psi_{exp(t\xi)} \circ f.$$

Diferenciando com respeito a t em t=0 e usando a regra da cadeia temos

$$Tf \circ \left(\frac{d}{dt} \Phi_{exp(t\xi)}|_{t=0}\right) = \left(\frac{d}{dt} \Psi_{exp(t\xi)}|_{t=0}\right) \circ f$$

isto é, $Tf \circ \xi_M = \xi_N \circ f$.

2.4 A aplicação momento

Definição 2.4.1 Seja (P,Ω) uma variedade simplética conexa e $\Phi: G \times P \longrightarrow P$ uma ação simplética do grupo de Lie G sobre P; isto é, para cada $g \in G$, a aplicação

$$\begin{array}{ccc} \Phi_g: P & \longrightarrow & P \\ & x & \mapsto & \Phi(g, x) \end{array}$$

é simplética. Diremos que uma aplicação

$$\mathbb{J}: P \longrightarrow \mathfrak{g}^*,$$

onde \mathfrak{g}^* é o dual da àlgebra de Lie de G, é uma aplicação momento para essa ação se para todo $\xi \in \mathfrak{g}$,

$$d\hat{\mathbb{J}}(\xi) = i_{\xi_P} \Omega$$

onde $\hat{\mathbb{J}}(\xi): P \longrightarrow \mathbb{R}$ é definida por $\hat{\mathbb{J}}(\xi)(x) = \mathbb{J}(x) \cdot \xi$ e ξ_P é o gerador infinitesimal da ação correspondente a ξ . Em outras palavras, \mathbb{J} é uma aplicação momento se

$$\mathbb{X}_{\hat{\mathbb{J}}(\xi)} = \xi_P$$

para todo $\xi \in \mathfrak{g}$.

O próximo resultado é de fundamental importância para o estudo de um sistema hamiltoniano integrável com simetria, pois, nos mostra uma maneira de construir integrais primeiras para o sistema.

Teorema 2.4.2 Seja Φ uma ação simplética de G sobre (P,Ω) com aplicação momento \mathbb{J} . Suponha que $H:P\longrightarrow \mathbb{R}$ é invariante pela ação, isto é,

$$H(x) = H(\Phi_g(x))$$
 para todo $x \in P, g \in G$

então \mathbb{J} é uma integral para \mathbb{X}_H ; isto é, se F_t é o fluxo de \mathbb{X}_H ,

$$\mathbb{J}(F_t(x)) = \mathbb{J}(x)$$

Demonstração Desde que, por hipotése, H é invariante temos que $H(\Phi_{exp(t\xi)}x) = H(x)$ para todo $\xi \in \mathfrak{g}$. Diferenciando em t=0 obtemos

$$dH(x) \cdot \xi_P(x) = 0$$

isto é,

$$L_{\mathbb{X}_{\hat{\mathbb{J}}(\xi)}}H=0.$$

Assim,

$$\{H, \hat{\mathbb{J}}(\xi)\} = 0.$$

Com isso,

$$\hat{\mathbb{J}}(\xi)(F_t(x)) = \hat{\mathbb{J}}(\xi)(x)$$
 para todo ξ .

Portanto,

$$\mathbb{J}(F_t(x))(\xi) = \mathbb{J}(x)(\xi)$$
 para todo ξ .

Logo, $\mathbb{J}(F_t(x)) = \mathbb{J}(x)$.

Exemplos: Vamos calcular a aplicação momento para a ação de SO(3) sobre \mathbb{R}^3

$$\Phi: SO(3) \times \mathbb{R}^3 \longrightarrow \mathbb{R}^3$$

$$(A, x) \mapsto A \cdot x.$$

Seja a ação

$$\Phi_A: \mathbb{R}^3 \longrightarrow \mathbb{R}^3$$

$$q \mapsto A \cdot q$$

onde $A \in SO(3)$ e $q \in \mathbb{R}^3$. O levantamento da ação ao fibrado cotangente $T^*\mathbb{R}^3$ pode ser visualizado pelo seguinte diagrama:

$$(q,p) \in T^* \mathbb{R}^3 \xrightarrow{(T^* \Phi_{A^T})^{-1}} T^* \mathbb{R}^3 \ni (Aq, Ap)$$

$$\uparrow \qquad \qquad \uparrow \qquad \qquad \uparrow$$

$$q \in \mathbb{R}^3 \xrightarrow{\Phi_A} \mathbb{R}^3 \ni Aq$$

onde $T^*\Phi_A(q,p) = (A^{-1}q,A^Tp)$. Portanto,

$$(T^*\Phi_A)^{-1}(q,p) = (Aq, (A^T)^{-1}p) = (Aq, Ap)$$

desde que $A \in SO(3)$. Calculando o levantamento da ação obtemos

$$T^*\Phi_{A^{-1}}: SO(3) \times T^*\mathbb{R}^3 \longrightarrow T^*\mathbb{R}^3$$

 $(A, (q, p)) \mapsto (Aq, Ap).$

Agora, calculemos o gerador infinitesimal da ação correspondente a um elemento \tilde{A} da álgebra de Lie:

$$\xi_{T^*\mathbb{R}^3}(z) = \frac{d}{dt}\Big|_{t=0} (exp(\tilde{A}t)) \cdot z$$

onde $z = (p, q) \in T^*\mathbb{R}^3$ e $\tilde{A} \in \mathfrak{so}(3)$. Com isso, podemos calcular $\hat{\mathbb{J}}(\tilde{A})$:

$$\Omega(\xi_{T^*\mathbb{R}^3}, \bullet)(q, p) = d\hat{\mathbb{J}}(\tilde{A})(q, p)$$

onde $\xi_{T^*\mathbb{R}^3} = (\tilde{A}q, \tilde{A}p)$ e $\Omega = dq \wedge dp$. Assim,

$$\tilde{A}q \cdot dp - \tilde{A}p \cdot dq = \frac{\partial \hat{\mathbb{J}}(\tilde{A})}{\partial q} \cdot dq + \frac{\partial \hat{\mathbb{J}}(\tilde{A})}{\partial p} \cdot dp$$

$$\Longrightarrow \left\{ \begin{array}{l} \frac{\partial \hat{\mathbb{J}}(\tilde{A})}{\partial q} = -\tilde{A} \cdot p = -A \times p \\ \\ \frac{\partial \hat{\mathbb{J}}(\hat{A})}{\partial p} = \tilde{A} \cdot q = A \times q \end{array} \right.$$

$$\implies \hat{\mathbb{J}}(\hat{A})(q,p) = (A \times q).p = -(A \times p).q$$

Escrevendo

$$\mathbb{J}(q,p) \cdot \tilde{A} = \hat{\mathbb{J}}(\tilde{A})(q,p) = (A \times q).p$$
$$= (q \times p).A = (q \times p) \cdot \tilde{A}$$

Obtemos que

$$\mathbb{J}(q,p) = q \times p.$$

Capítulo 3

Sistemas hamiltonianos integráveis

3.1 Definições básicas

Definição 3.1.1 Seja (P,Ω) uma variedade simplética, $H \in \mathcal{F}(P)$ uma função hamiltoniana e $f_1 = H, f_2, ..., f_k$ constantes de movimento. O conjunto $\{f_1, ..., f_k\}$ é dito em involução se $\{f_i, f_j\} = 0$ para todo $1 \le i, j \le k$.

Definição 3.1.2 Sejam $f_1, ..., f_k$ como na definição anterior. O conjunto $\{f_1, ..., f_k\}$ é dito ser independente se o conjunto dos pontos de críticos da função $F: P \longrightarrow \mathbb{R}^k$ definida por $F(p) = (f_1(p), ..., f_k(p))$ tem medida zero em P. Denotaremos esse conjunto por $\sigma(F) = \{p \in P \mid df_1(p), ..., df_k(p) \text{ são linearmente dependentes}\}.$

Definição 3.1.3 Um sistema hamiltoniano $(P, \Omega, \mathbb{X}_H)$, onde dim(P) = 2n é chamado integrável (ou completamente integrável) se possui n constantes de movimento independentes e em involução.

Definição 3.1.4 Seja $\omega \in \mathbb{R}^n$ um vetor fixo e considere o fluxo $F_t : \mathbb{R}^n \longrightarrow \mathbb{R}^n$ definido por $F_t(v) = v + t\omega$. Denote a projeção canônica por $\pi : \mathbb{R}^n \longrightarrow \mathbb{R}^k \times \mathbb{T}^{n-k}$ e seja $\varphi_t : \mathbb{R}^k \times \mathbb{T}^{n-k} \longrightarrow \mathbb{R}^k \times \mathbb{T}^{n-k}$ o único fluxo satisfazendo $\pi \circ F_t = \varphi_t \circ \pi$. O fluxo φ_t é chamado fluxo tipo-translação definido por F_t .

Pela definição, escrevemos

$$\varphi_t(x_1,...,x_k,\theta_{k+1},...,\theta_n) = (x_1 + t\omega_1,...,x_k + t\omega_k,\theta_{k+1} + t\omega_{k+1} \pmod{1},...,\theta_n + t\omega_n \pmod{1})$$

onde $\omega = (\omega_1, ..., \omega_n) \in \mathbb{R}^n$, $x_1, ..., x_k \in \mathbb{R}$, e $\theta_{k+1}, ..., \theta_n \in \mathbb{S}^1$ são coordenadas (variáveis angulares) sobre o toro $\mathbb{T}^{n-k} = \mathbb{S}^1 \times ... \times \mathbb{S}^1$ (n-k vezes).

Definição 3.1.5 Se k = 0 o fluxo é chamado condicionalmente periodico.

Nesse caso, $\varphi_t: \mathbb{T}^n \longrightarrow \mathbb{T}^n$ e se $\theta_1, ..., \theta_n$ são funções coordenadas sobre \mathbb{T}^n , temos que

$$\theta_i(\varphi_t(x)) = \theta_i(x) + t\omega_i \pmod{1}, \quad 1 \le i \le n$$

onde $x \in \mathbb{T}^n$, $t \in \mathbb{R}$ e os ω_i 's são chamados de frequência do fluxo.

3.2 O teorema de Arnold-Liouville

Teorema 3.2.1 Sejam $(P, \Omega, \mathbb{X}_H)$ um sistema hamiltoniano, $f_1 = H, f_2, ... f_n \in \mathcal{F}(P)$ constantes de movimento independentes e em involução e $n = \frac{1}{2} \dim(P)$. Defina a função

$$F: P \longrightarrow \mathbb{R}^n$$

 $p \mapsto F(p) = (f_1(p), ..., f_n(p))$

e considere o conjunto de nível

$$I_c = \{ p \in P \mid F(p) = c, \ c = (c_1, ..., c_n) \in \mathbb{R}^n, c \ constante \}.$$

Suponhamos que $I_c \cap \sigma(F) = \emptyset$ e que cada um dos campos de vetores hamiltonianos $\mathbb{X}_{f_i}|_{I_c}$, $1 \leq i \leq n$ seja completo. Então,

(i) I_c é uma variedade diferenciável, invariante para toda função $f_1, ..., f_n$, isto é, toda curva integral de \mathbb{X}_{f_i} começando em um ponto de I_c permanece em I_c .

- (ii) Cada componente conexa da variedade I_c é difeomorfa ao cilindro $\mathbb{R}^k \times \mathbb{T}^{n-k}$ e se a variedade I_c é compacta e conexa, então ela é difeomorfa ao toro n-dimensional $\mathbb{T}^n = \mathbb{S}^1 \times ... \times \mathbb{S}^1$.
- (iii) O fluxo de fase com a função de Hamilton H, em cada componente conexa de I_c , é conjugado com um fluxo tipo-translação. Se I_c é compacta e conexa o fluxo conjugado é condicionalmente períodico.

Demonstração Para provar (i) observemos que o conjunto $\{df_1(p),...,df_n(p)\}$ é linearmente independente para todo $p \in I_c$, pois, $I_c \cap \sigma(F) = \varnothing$. Com isso, a matriz $T_pF = (df_1(p),...,df_n(p))^T$ é sobrejetiva para todo $p \in I_c$ e portanto, $c \in \mathbb{R}^n$ é um valor regular da função F. Logo, $I_c = F^{-1}(c)$ é uma variedade diferenciável de dimensão n. Agora provaremos que I_c é invariante para toda $f_1,...,f_n$. Primeiramente, seja φ_t^i o fluxo do campo de vetores \mathbb{X}_{f_i} . Como, por hipótese, $\{f_i,f_j\} = 0$ temos que

$$\frac{d}{dt}f_i(\varphi_t^j)(p) = df_i(\varphi_t^j)(p) \mathbb{X}_{f_j}(\varphi_t^j(p)) = \{f_i, f_j\}(\varphi_t^j(p)) = 0$$

assim $f_i(\varphi_t^j) = f_i(p)$ ao longo do tempo, para todo $p \in I_c$ e, portanto, I_c é invariante pelo fluxo de \mathbb{X}_{f_i} .

Agora provaremos o ítem (ii). Consideremos I_c^0 uma componente conexa de I_c

Afirmação 1 Os fluxos φ_t^i e φ_t^j comutam para todo i, j = 1, ..., n.

Demonstração Com efeito, dados os campos de vetores \mathbb{X}_{f_i} e \mathbb{X}_{f_j} temos que

$$\begin{aligned} [\mathbb{X}_{f_i}, \mathbb{X}_{f_j}](f) &= \mathbb{X}_{f_i}(\mathbb{X}_{f_j}(f)) - \mathbb{X}_{f_j}(\mathbb{X}_{f_i}(f)) \\ &= \mathbb{X}_{f_i}(\{f, f_j\}) - \mathbb{X}_{f_j}(\{f, f_i\}) \\ &= \{\{f, f_j\}, f_i\} - \{\{f, f_i\}, f_j\} \\ &= -\{f, \{f_i, f_j\}\} \\ &= -\mathbb{X}_{\{f_i, f_j\}}(f). \end{aligned}$$

Como, por hipotese, $\{f_i, f_j\} = 0$ para todo i, j, isto implica que $[X_{f_i}, X_{f_j}] = 0$ para todo i, j. Com isso, temos

$$\frac{d}{dt}((\varphi_t^j)^* \mathbb{X}_{f_i})\Big|_{t=t_0} = \lim_{t \to t_0} \frac{((\varphi_t^j)^* \mathbb{X}_{f_i})(p) - \mathbb{X}_{f_i}(p)}{t - t_0} = \lim_{s \to 0} \frac{((\varphi_{s+t_0}^j)^* \mathbb{X}_{f_i})(p) - \mathbb{X}_{f_i}(p)}{s}$$

$$= \frac{d}{ds}((\varphi_{s+t_0}^j)^* \mathbb{X}_{f_i})(p)\Big|_{s=0} = \frac{d}{ds}((\varphi_s^j)^* \circ (\varphi_{t_0}^j)^* \mathbb{X}_{f_i})(p)\Big|_{s=0}$$

$$= \frac{d}{ds}((\varphi_s^j)^* ((\varphi_{t_0}^j)^* \mathbb{X}_{f_i})(p))\Big|_{s=0} = \mathcal{L}_{\mathbb{X}_{f_j}}((\varphi_{t_0}^j)^* \mathbb{X}_{f_i})$$

$$= [\mathbb{X}_{f_j}, (\varphi_{t_0}^j)^* \mathbb{X}_{f_i}] = [(\varphi_{t_0}^j)^* \mathbb{X}_{f_j}, (\varphi_{t_0}^j)^* \mathbb{X}_{f_i}]$$

$$= (\varphi_{t_0}^j)^* [\mathbb{X}_{f_i}, \mathbb{X}_{f_i}] = 0.$$

Portanto, $(\varphi_t^j)^* \mathbb{X}_{f_i}$ não depende de t e com isso, $(\varphi_t^j)^* \mathbb{X}_{f_i} = (\varphi_t^j)^* \mathbb{X}_{f_i} \Big|_{t=0} = \mathbb{X}_{f_i}$ para todo t. Logo,

$$\varphi_s^i = \varphi_{-t}^j \circ \varphi_s^i \circ \varphi_t^j \Longleftrightarrow \varphi_s^i \circ \varphi_t^j = \varphi_t^j \circ \varphi_s^i. \quad \Box$$

Desde que os fluxos φ^i_t comutam, podemos definir uma ação

$$\Phi: \mathbb{R}^n \times I_c^0 \longrightarrow I_c^0$$

$$\Phi((t_1, ..., t_n), \alpha) = (\varphi_{t_1}^1 \circ \varphi_{t_2}^2 \circ ... \circ \varphi_{t_n}^n)(\alpha)$$

com $\alpha \in I_c^0$, $(t_1, ..., t_n) \in \mathbb{R}^n$ e \mathbb{R}^n é considerado como um grupo de Lie com estrutura aditiva.

Afirmação 2 A ação Φ é transitiva.

Demonstração Como $\Phi(\mathbb{R}^n, \alpha)$ é fechado e conexo em I_c^0 . Basta mostrar que a aplicação $\Phi(\bullet, \alpha) : \mathbb{R}^n \longrightarrow I_c^0$ é aberta. De fato, se $e_1, ..., e_n$ denotam a base canônica de \mathbb{R}^n temos que

$$T_0\Phi(\bullet,\alpha)\cdot e_i = \frac{d}{dt}\varphi_t^i(\alpha) = \mathbb{X}_{f_i}(\alpha)$$

e pela independência dos vetores \mathbb{X}_{f_i} , a aplicação $T_0\Phi(\bullet,\alpha):\mathbb{R}^n\longrightarrow T_\alpha I_c^0$ é um isomorfismo e daí $\Phi(\bullet,\alpha)$ é um difeomorfismo local numa vizinhança de $0\in\mathbb{R}^n$. Com isso,

 $\Phi(\bullet, \alpha) : \mathbb{R}^n \longrightarrow I_c^0$ é uma aplicação aberta, donde $\Phi(\mathbb{R}^n, \alpha)$ é aberto e consequentemente $\Phi(\mathbb{R}^n, \alpha) = I_c^0$. Logo, a ação é transitiva. \square

Desde que $\Phi: \mathbb{R}^n \times I_c^0 \longrightarrow I_c^0$ é transitiva, pelo corolário 2.3.10, a variedade I_c^0 é difeomorfa ao espaço homogêneo \mathbb{R}^n/H , onde H é o subgrupo de isotropia de um elemento arbitrário $\alpha_0 \in I_c^0$, isto é,

$$H = \{(t_1, ..., t_n) \in \mathbb{R}^n \mid \Phi((t_1, ..., t_n), \alpha_0) = \alpha_0\}.$$

Desde que dim $I_c^0=n,$ devemos ter dim H=0, isto é, H é um subgrupo discreto de $\mathbb{R}^n.$

Afirmação 3 H é gerado por k vetores $(0 \le k \le n)$ linearmente independentes sobre \mathbb{R} , $a_1, ..., a_k$; isto é,

$$H = \{ v \in \mathbb{R}^n \mid v = \sum_{i=k+1}^n m_i a_i, \ m_i \in \mathbb{Z} \}.$$

Demonstração Ver [2]. \square

Pelo corolário 2.3.10 existe um difeomorfismo $h: \mathbb{R}^n/H \longrightarrow I_c^0$ definido por

$$h([t_1,...,t_n]) = \Phi((t_1,...,t_n),\alpha_0)$$

onde $[t_1,...,t_n] \in \mathbb{R}^n/H$. Agora, sejam $a_1,...,a_k$ vetores de \mathbb{R}^n tais que o conjunto $\{a_1,...,a_k,a_{k+1},...,a_n\}$ forma uma base de \mathbb{R}^n . Defina o isomorfismo

$$T: \mathbb{R}^n \longrightarrow \mathbb{R}^n$$
 $a_i \mapsto Ta_i = e_i$

onde os vetores $e_1, ..., e_n$ formam a base canônica de \mathbb{R}^n . Desta forma,

$$T(H) = \{(0, ..., 0)\} \times \mathbb{Z}^{n-k} \subset \mathbb{R}^n$$

e com isso, a aplicação T induz um difeomorfismo

$$\hat{T}: \mathbb{R}^n/H \longrightarrow \mathbb{R}^n/\{(0,...,0)\} \times \mathbb{Z}^{n-k} = \mathbb{R}^k \times \mathbb{T}^{n-k}$$

definido por $\hat{T}([x]) = [Tx]$. Ou seja, o seguinte diagrama comuta:

$$\mathbb{R}^{n} \xrightarrow{T} \mathbb{R}^{n}$$

$$\downarrow^{\pi}$$

$$\mathbb{R}^{n}/H \xrightarrow{\hat{T}} \mathbb{R}^{k} \times \mathbb{T}^{n-k}$$

Assim, a aplicação $\hat{T} \circ h^{-1} : I_c^0 \longrightarrow \mathbb{R}^k \times \mathbb{T}^{n-k}$ é um difeomorfismo. Portanto, cada componente conexa de I_c é difeomorfa ao cilindro $\mathbb{R}^k \times \mathbb{T}^{n-k}$ e se a variedade I_c for compacta e conexa ela é difeomorfa ao toro n-dimensional \mathbb{T}^n .

Finalizaremos com a prova do ítem (iii). Primeiro, observemos que o difeomorfismo $h \circ \hat{T}^{-1} : \mathbb{R}^k \times \mathbb{T}^{n-k} \longrightarrow I_c^0$ define o seguinte diagrama comutativo

$$\mathbb{R}^{k} \times \mathbb{T}^{n-k} \xrightarrow{\hat{T}^{-1}} \mathbb{R}^{n} / H \xrightarrow{h} I_{c}^{0}$$

$$\downarrow \psi_{t} \qquad \qquad \downarrow \psi_{t} \qquad \qquad \downarrow \varphi_{t}^{1} |_{I_{c}^{0}}$$

$$\mathbb{R}^{k} \times \mathbb{T}^{n-k} \xrightarrow{\hat{T}^{-1}} \mathbb{R}^{n} / H \xrightarrow{h} I_{c}^{0}$$

com os fluxos $\mathcal{X}_t = h^{-1} \circ \varphi_t^1|_{I_c^0} \circ h$, $\psi_t = \hat{T} \circ \mathcal{X}_t \circ \hat{T}^{-1}$, onde

$$\mathcal{X}_{t}([t_{1},...,t_{n}]) = (h^{-1} \circ \varphi_{t}^{1})(\Phi((t_{1},...,t_{n}),\alpha_{0}))
= h^{-1} \circ \Phi((t+t_{1},t_{2},...,t_{n}),\alpha_{0})
= [t+t_{1},t_{2},...,t_{n}].$$

Considere o fluxo $F_t: \mathbb{R}^n \longrightarrow \mathbb{R}^n$, $F_t(v) = v + tTe_1$. O fluxo $\psi_t = \hat{T} \circ \mathcal{X}_t \circ \hat{T}^{-1}$ é o fluxo tipo-translação (definido por F_t) conjugado com o fluxo φ_t^1 . De fato,

$$(\psi_{t} \circ \pi)(t_{1}, ..., t_{n}) = (\hat{T} \circ \mathcal{X}_{t} \circ \hat{T}^{-1} \circ \pi)(t_{1}, ..., t_{n})$$

$$= (\hat{T} \circ \mathcal{X}_{t} \circ \pi_{H} \circ T^{-1})(t_{1}, ..., t_{n})$$

$$= (\hat{T} \circ \mathcal{X}_{t})[y_{1}, ..., y_{n}]$$

$$= \hat{T} \circ \pi_{H}(t + y_{1}, y_{2}, ..., y_{n})$$

$$= \pi \circ T(te_{1} + (y_{1}, ..., y_{n}))$$

$$= \pi(tTe_{1} + (t_{1}, ..., t_{n}))$$

$$= (\pi \circ F_{t})(t_{1}, ..., t_{n}).$$

Assim, fica definido sobre cada componente conexa de I_c um fluxo tipo-translação. Se a variedade I_c é compacta e conexa, ψ_t é um fluxo condicionalmente períodico conjugado com o fluxo φ_t^1 do campo de vetores Hamiltoniano \mathbb{X}_H .

Com isso, encerramos a demonstração do teorema de Arnold-Liouville.

3.3 Variáveis de ação-ângulo

A construção das variáveis de ação-ângulo que será feita nessa seção pode ser encontrada no livro do Abraham e Marsden (referência [1]). Uma outra referência é o livro do Arnold (referência [2]).

Primeiramente, vamos considerar o espaço vetorial simplético \mathbb{R}^{2n} com coordenadas canônicas $(q_1,...,q_n,p_1,...,p_n)$ e cujos vetores estão identificados pela seguinte relação de equivalência

$$(q,p) \sim (q',p') \iff q = q' \ e \ p - p' \in \mathbb{Z}.$$

O espaço quociente $\mathbb{R}^{2n}/\sim \cong \mathbb{R}^n \times \mathbb{T}^n$ herda de maneira natural uma estrutura simplética de \mathbb{R}^{2n} via a projeção canônica. Seguindo esse caminho, consideremos a variedade simplética $B^n \times \mathbb{R}^n$, onde $B^n \subset \mathbb{R}^n$ é uma bola aberta de \mathbb{R}^n , e introduzamos coordenadas canônicas $(I_1,...,I_n,\varphi_1,...,\varphi_n)$ tais que $I_i=q_i$, com q_i em B^n e $\varphi_i=p_i(mod\ 1),\ i=1,...,n$. Diremos que um hamiltoniano H possui coordenadas de ação-ângulo $(I_1,...,I_n,\varphi_1,...,\varphi_n)$ em $B^n \times \mathbb{T}^n$ se H não depende das variáveis $\varphi_1,...,\varphi_n$ e nesse caso, as equações de Hamilton são dadas por

$$\dot{I}_i = 0$$
 , $\dot{\varphi}_i = -\frac{\partial H}{\partial I_i} = \omega_i(I_1, ..., I_n)$

e as aplicações $I_i: B^n \times \mathbb{T}^n \longrightarrow \mathbb{R}$ são constantes de movimento para \mathbb{X}_H .

Definição 3.3.1 Um Hamiltoniano $H \in \mathcal{F}(P)$ sobre uma variedade simplética (P,Ω) admite coordenadas de ação-ângulo $(I_1,...,I_n,\varphi_1,...,\varphi_n)$ em algum aberto $U \subset P$, se:

(i) existe um difeomorfismo simplético $\psi: U \longrightarrow B^n \times \mathbb{T}^n$;

(ii) $H \circ \psi^{-1} \in \mathcal{F}(B^n \times \mathbb{T}^n)$ admite coordenadas de ação-ângulo (I, φ) (como acima), isto é, o campo de vetores hamiltoniano $\psi_* \mathbb{X}_H = \mathbb{X}_{H \circ \psi^{-1}}$ tem a forma

$$\psi_* \mathbb{X}_H = -\sum_{i=1}^n \frac{\partial (H \circ \psi^{-1})}{\partial I_i} \frac{\partial}{\partial \varphi_i}$$

e, com isso, as equações de hamilton são dadas por

$$\dot{I}_i = 0
\dot{\varphi}_i = -\frac{\partial (H \circ \psi^{-1})}{\partial I_i} = \omega_i(I_1, ..., I_n)$$

Agora passaremos a construção das coordenadas de ação-ângulo sobre uma variedade simplética (P,Ω) de dimensão 2n onde são dados um hamiltoniano H e n integrais de movimento, $f_1 = H, f_2, ..., f_n$ independentes e em involução. Trabalharemos em um aberto de \mathbb{R}^{2n} , domínio de uma carta simplética de (P,Ω) cujas coordenadas locais são denotadas por $q_1, ..., q_n, p_1, ..., p_n$. Seja $U \subset \mathbb{R}^n$ um conjunto aberto tal que todo $c \in U$ é valor regular da função da função $F = (f_1, ..., f_n)$ e consideremos que F^{-1} é difeomorfo a $U \times \mathbb{T}^n$. Vamos passar a construção de um difeomorfismo simplético $\psi : F^{-1}(U) \longrightarrow B^n \times \mathbb{T}^n$. Localmente, a forma simplética $\Omega = \sum_{i=1}^n dq_i \wedge dp_i$ é exata, $\Omega = -d\Theta$, onde $\Theta = \sum_{i=1}^n p_i dq_i$. Seja $I_c \cong \mathbb{T}^n = \mathbb{S}^1 \times ... \times \mathbb{S}^1$, e denote por $\gamma_1(c), ..., \gamma_n(c)$ os n ciclos fundamentais de I_c correspondendo aos n fatores de \mathbb{S}^1 . Defina $\lambda = (\lambda_1, ..., \lambda_n) : U \longrightarrow \mathbb{R}^n$ por

$$\lambda_i(c) = \oint_{\gamma_i(c)} i_c^*(\Theta), \quad 1 \leqslant i \leqslant n,$$

onde $i_c: I_c \longrightarrow P$ é a inclusão canônica. Vemos que $\lambda_i(c)$ é a integral de uma 1-forma Θ sobre o ciclo $\lambda_i(c)$ e depende somente da fronteira de $\lambda_i(c)$. Assumiremos que λ é um difeomorfismo sobre a sua imagem e definiremos a aplicação $\lambda \circ F: F^{-1}(U) \longrightarrow \lambda(U)$ tal que $\lambda(U) = B^n \subset \mathbb{R}^n$ (fazendo uma escolha adequada de U); desta forma, obtemos parte do difeomorfismo desejado. Passaremos a construção de uma aplicação Γ que junto com $\lambda \circ F$ nos dará tal difeomorfismo. Primeiramente, vamos mostrar que $i_c^*(\Theta) \in \Omega^1(I_c)$ é uma 1-forma fechada. Por hipótese, os campos de vetores hamiltonianos $\mathbb{X}_{f_1}, ..., \mathbb{X}_{f_n}$ são linearmente independentes em cada ponto de P. Daí, $\mathbb{X}_{f_1}(q,p), ..., \mathbb{X}_{f_n}(q,p)$ formam uma

base de $T_{(q,p)}I_c$ e é suficiente mostrar que

$$d(i_c^*(\Theta))(\mathbb{X}_{f_i}|_{I_c}, \mathbb{X}_{f_i}|_{I_c}) = 0, \quad 1 \leqslant i, j \leqslant n.$$

Mas, de fato,

$$d(i_{c}^{*}(\Theta))(\mathbb{X}_{f_{i}}|_{I_{c}}, \mathbb{X}_{f_{j}}|_{I_{c}}) = i_{c}^{*}(d\Theta)(\mathbb{X}_{f_{i}}|_{I_{c}}, \mathbb{X}_{f_{j}}|_{I_{c}})$$

$$= -i_{c}^{*}\Omega(\mathbb{X}_{f_{i}}|_{I_{c}}, \mathbb{X}_{f_{j}}|_{I_{c}})$$

$$= -\Omega(\mathbb{X}_{f_{i}}, \mathbb{X}_{f_{j}}) \circ i_{c}$$

$$= -\{f_{i}, f_{j}\} \circ i_{c} = 0.$$

Agora, pela hipótese de independência das funções f_i , $1 \le i \le n$ a matriz $(\partial f_i/\partial p_j)$ tem determinante diferente de zero e daí fixando $(q_1^0, ..., q_n^0)$, a equação $F(q, p) - \lambda^{-1}(I) = 0$, para I fixo, pode ser resolvido para p em uma vizinhança de q^0 , usando o teorema da função implicita, e daí nessa vizinhança temos uma função p = p(q, I). Definamos

$$S(q,I) = \int_{(q^0,p^0)}^{(q,p)} i_{\lambda^{-1}(I)}^*(\Theta)$$

onde a integral é calculada sobre uma curva ligando os pontos (q^0, p^0) e (q, p) e que se encontra no toro $I_{\lambda^{-1}(I)}$. Como $i_{\lambda^{-1}(I)}^*(\Theta)$ é fechada, a integral não depende da curva se (q, p) é tomado próximo de (q^0, p^0) .

Defina a aplicação $\Gamma = (\Gamma_1, ..., \Gamma_n) : F^{-1}(U) \longrightarrow \mathbb{T}^n$ por

$$\Gamma_i(q,p) = \frac{\partial S(q,I)}{\partial I_i} \Big|_{I=(\lambda \circ F)(q,p)}.$$

Claramente, Γ_i são funções de multi-valores. A variação de Γ_i sobre os ciclos $\gamma_k(\lambda^{-1}(I))$ é dada por

$$\oint_{\gamma_k(\lambda^{-1}(I))} d(\Gamma_i \circ i_{\lambda^{-1}(I)}) = \oint_{\gamma_k(\lambda^{-1}(I))} d(\frac{\partial S}{\partial I_i} \circ i_{\lambda^{-1}(I)})$$

$$= \frac{\partial}{\partial I_i} \int_{\gamma_k(\lambda^{-1}(I))} dS$$

$$= \frac{\partial}{\partial I_i} \int_{\gamma_k(\lambda^{-1}(I))} i_{\lambda^{-1}(I)}^*(\Theta)$$
$$= \frac{\partial I_k}{\partial I_i} = \delta_i^k$$

tal que mod 1, os Γ_i 's estão bem definidos e com isso determinam coordenadas angulares sobre o toro.

Defina agora $\psi = (\lambda \circ F) \times \Gamma : F^{-1}(U) \longrightarrow B^n \times \mathbb{T}^n$ e considere que essa aplicação é bijetiva (localmente isso é verificado por construção). Notemos que

$$\partial S/\partial q_i = p_i(q, I)$$

para isso, fixemos I e observemos que sobre o toro $I_{\lambda^{-1}(I)}$, a aplicação S(q,I) pode ser escrita como

$$S(q, I) = \int_{(q^0, p^0)}^{(q, p)} \sum_{i=1}^n p_i dq_i$$
$$= constante + \sum_{q^0} \int_{q^0}^q p_i(q, I) dq_i$$

tomando como curva de integração a união de dois segmentos

$$\overline{(q^0, p^0), (q^0, p(q, I))}$$
 e $\overline{(q^0, p(q, I)), (q, p)}$

temos então as relações

$$\Gamma_i(q, p) = \partial S/\partial I_i$$
 , $p_i = \partial S/\partial q_i$.

Portanto, S é a função geradora da aplicação $\psi:(q,p)\mapsto(I,\varphi),\ \varphi=\Gamma$ e daí ψ é simplética. Como uma aplicação simplética é um difeomorfismo local e, além disso, ψ é bijetiva, temos que ψ é um difeomorfismo global. Logo, a condição (i) da definição é satisfeita.

Para mostrarmos que o hamiltoniano H não depende da coordenada de ângulo φ , lembremos que

$$\frac{\partial (H \circ \psi^{-1})}{\partial \varphi_i} = dI_i(\mathbb{X}_{H \circ \psi^{-1}})$$

$$= d(\lambda_i \circ F)(\mathbb{X}_H) \circ \psi^{-1}$$
$$= (d\lambda_i \circ TF)(\mathbb{X}_H) \circ \psi^{-1}$$

e que

$$TF(X_H) = (df_1(X_H), ..., df_n(X_H))$$

= $-(\{H, f_1\}, ..., \{H, f_n\})$
= 0

que nos dá a condição (ii) da definição.

Capítulo 4

O fluxo geodésico no elipsóide e o problema mecânico de Neumann

Dois dos exemplos mais notáveis de sistemas integráveis são o fluxo geodésico no elipsóide e o problema mecânico de C.Neumann. Ambos podem ser abordados a partir do ponto de vista clássico da equação de Hamilton-Jacobi. Mais recentemente K.Uhlenbeck ([8]) demonstrou a existência de integrais involutivas algébricas para o problema do fluxo geodésico. H.Knöer, usando a aplicação de Gauss do elipsóide na esfera unitária, mostrou a equivalência dos dois problemas.

4.1 Sistemas hamiltonianos com vínculo

Consideremos sobre a variedade simplética \mathbb{R}^{2n} (com a forma simplética canônica e o colchete de Poisson definidos como na seção 1.1) funções diferenciáveis $G_i : \mathbb{R}^{2n} \longrightarrow \mathbb{R}$, i = 1, 2, ..., 2r. Vamos analisar o seguinte conjunto:

$$M = \{x \in \mathbb{R}^{2n} \mid G_1(x) = \dots = G_{2r}(x) = 0\}.$$

Lema 4.1.1 Se $dG_1, ..., dG_{2r}$ são linearmente independentes sobre M então, M é uma subvariedade diferenciável de \mathbb{R}^{2n} de dimensão 2n - 2r.

Demonstração Defina a função $G = (G_1, ..., G_{2r}) : \mathbb{R}^{2n} \longrightarrow \mathbb{R}^{2r}$. A função G é diferenciável e além disso,

$$T_pG = (dG_1, ..., dG_{2r})^T$$

é sobrejetiva para todo $p \in M$. Portanto, $0 \in \mathbb{R}^{2n}$ é um valor regular da função G. Logo, $M = G^{-1}\{0\}$ é uma subvariedade de dimensão 2n - 2r.

Lema 4.1.2 A variedade M é simplética se e somente se $det(\{G_j, G_k\})_{j,k=1,\dots,2r} \neq 0$ sobre M.

Demonstração Assuma que M é simpletica e suponha que a matriz $(\{G_j, G_k\})$ é singular em $x \in M$, então existem números reais $a_1, ..., a_{2r}$ não todos nulos, tal que

$$<\nabla G_j, \mathbb{J}(\Sigma_{k=1}^{2r} a_k \nabla G_k)> = \Sigma_{k=1}^{2r} a_k \{G_j, G_k\} = 0$$

para todo j. Ou seja, o vetor $v = \mathbb{J}(\sum_{k=1}^{2r} a_k \nabla G_k) \neq 0$ é tangente a M em x. Então,

$$\Omega(u,v) = \langle u, \mathbb{J}(\mathbb{J}(\sum_{k=1}^{2r} a_k \nabla G_k)) \rangle = -\langle u, \sum_{k=1}^{2r} a_k \nabla G_k) \rangle = 0,$$

para todo vetor $u \in T_xM$. Daí, Ω é degenerada sobre M, o que é uma contradição. Agora, suponha que para algum $0 \neq v \in T_xM$, $\Omega(u,v) = \langle u, \mathbb{J}v \rangle = 0$ para todo $u \in T_xM$, então $\mathbb{J}v = \sum_{k=1}^{2r} a_k \nabla G_k$ com $a_k \neq 0$ para algum k. Então,

$$\{G_j, \Sigma_{k=1}^{2r} a_k G_k\} = <\nabla G_j, \mathbb{J}(\Sigma_{k=1}^{2r} a_k \nabla G_k)> = -<\nabla G_j, v> = 0.$$

Isto implica que $det(\{G_j,G_k\})_{j,k=1,\dots,2r}=0$. Contradição. \blacksquare

Agora, suponhamos sobre \mathbb{R}^{2n} um campo de vetores hamiltoniano \mathbb{X}_H . Uma pergunta natural que surge é a seguinte: A restrição de \mathbb{X}_H a variedade simplética M constitue um campo de vetores tangentes a M? Em geral isso não acontece, pois, a condição que nos dá a tangencia do campo em M

$$X_H G_j = \{G_j, H\} = 0$$
 para $j = 1, 2, ..., 2r$

nem sempre é satisfeita. Nosso objetivo agora, será tentar definir um campo de vetores sobre \mathbb{R}^{2n} cuja restrição a variedade simplética M seja um campo de vetores tangentes a M. Considere o campo de vetores

$$\mathbb{X}_H - \sum_{j=1}^{2r} \lambda_j(x) \mathbb{X}_{G_j}, \tag{4.1}$$

onde os λ_j são determinados de modo que o campo de vetores seja tangente a M, ou seja, para todo k=1,2,...,2r

$$\{H, G_k\} - \sum_{j=1}^{2r} \lambda_j \{G_j, G_k\} = 0$$

e como $det(\{G_j, G_k\})_{j,k=1,\dots,2r} \neq 0$ em M, os $\lambda_i = \lambda_i(x)$ são definidos de forma única em M.

Lema 4.1.3 O campo de vetores (4.1) é induzido pela função hamiltoniana

$$H^* = H - \sum_{j=1}^{2r} \lambda_j G_j.$$

Demonstração Ver [4]. ■

Assim, o campo de vetores (4.1) é dado por

$$\mathbb{X}_{H^*} = \mathbb{X}_H - \sum_{j=1}^{2r} \lambda_j \mathbb{X}_{G_j}.$$

Definição 4.1.4 Chamaremos o campo de vetores X_{H^*} de campo de vetores vinculado a variedade simplética M e a terna $(M, \Omega|_M, X_{H^*})$ de sistema vinculado.

Uma outra pergunta que surge naturalmente é: Se H define um sistema integrável em \mathbb{R}^{2n} então H^* define um sistema integrável em M? Novamente, em geral isso não acontece. Mas, tentaremos então descrever uma situação especial onde esse caso ocorre.

Assuma que \mathbb{X}_H é integrável com integrais $F_1, F_2, ..., F_n$ independentes e em involução. Assuma que a variedade M é dada por

$$F_1, ..., F_r = 0, \qquad G_1, ..., G_r = 0$$

onde $G_1, ..., G_r$ são funções satisfazendo

$$det(\{F_i, G_j\})_{i,j=1,\dots,r} \neq 0$$
(4.2)

e, com isso, M é uma variedade simplética. O novo hamiltoniano é dado por

$$H^* = H - \sum_{j=1}^{r} (\lambda_j F_j + \mu_j G_j)$$

onde

$$0 = \{H^*, F_k\} = \sum_{j=1}^r \mu_j \{G_j, F_k\} \Longrightarrow \mu_1 = \dots = \mu_r = 0$$

sobre M por (4.2). Portanto, podemos tomar

$$H^* = H - \sum_{j=1}^r \lambda_j F_j$$

onde os λ_j são definidos por $\{H^*,G_k\}=0$ (k=1,...,r) e, daí, o campo vinculado é dado por

$$\mathbb{X}_{H^*} = \mathbb{X}_H - \sum_{j=1}^r \lambda_j \mathbb{X}_{F_j}.$$

Lema 4.1.5 As funções $F_k|_M$ são integrais primeiras do sistema vinculado.

Demonstração De fato,

$$\{F_k, H^*\} = \{F_k, H\} - \sum \lambda_j \{F_k, F_j\}.$$

Assim, como as funções $F_k|_M$ estão em involução, temos

$$\{F_k, H^*\} = 0.$$

Logo, as funções $F_k|_M$ são integrais primeiras do sistema vinculado.

4.2 O fluxo geodésico no elipsóide

Passaremos agora ao estudo do fluxo geodésico no elipsóide. Para isso, consideraremos o sistema que formula esse problema como um sistema vinculado do sistema mecânico da partícula livre em \mathbb{R}^{2n} . Preliminarmente, considere a matriz diagonal com entradas reais $A = diag(a_0, ..., a_n)$ onde $0 < a_0 < a_1 < ... < a_n$.

Definição 4.2.1 Definimos $Q_{\lambda}(x,y) = \langle (A - \lambda I)^{-1}x, y \rangle$ onde $x,y \in \mathbb{R}^{n+1}$, $\lambda \in \mathbb{R}$ e $\lambda \neq a_i, i = 1,...,n$.

Definição 4.2.2 Chamaremos de família de quádricas confocais em \mathbb{R}^{n+1} uma família de quádricas definida por $Q_{\lambda}(x) = Q_{\lambda}(x,x) = 1$. É imediato que:

- (i) se $\lambda < a_0$ então $Q_{\lambda}(x) = 1$ define um elipsóide;
- (ii) se $\lambda > a_0$ então $Q_{\lambda}(x) = 1$ define um hiperbolóide.

Na verdade, o que se observa é que para valores convenientes de λ , a expressão $Q_{\lambda}(x) = 1$ define n+1-tipos diferentes de quádricas confocais. A existência de tais quádricas é assegurada pelo seguinte resultado:

Lema 4.2.3 Seja $x = (x_0, ..., x_n) \in \mathbb{R}^{n+1}$ com $\prod_{i=0}^n x_i \neq 0$. Então existem n+1-quádricas confocais diferentes passando por x, uma em cada intervalo (a_i, a_{i+1}) , i = 0, ..., n.

Demonstração Defina a função $F_{\lambda}(x) = 1 - Q_{\lambda}(x)$, para algum $x \in \mathbb{R}^{n+1}$ fixo. Para cada intervalo (a_i, a_{i+1}) , F é uma função contínua em λ e além disso,

$$\lim_{\lambda \longrightarrow a_i^-} F_{\lambda}(x) = -\infty \quad e \quad \lim_{\lambda \longrightarrow a_{i+1}^+} F_{\lambda}(x) = +\infty.$$

Portanto, a função $F_{\lambda}(x)$ possui uma raiz em cada intervalo (a_i, a_{i+1}) e concluimos que existem n+1-quádricas confocais diferentes passando por x, uma em cada intervalo (a_i, a_{i+1}) .

Um fato interessante é que essas n+1 quádricas confocais se intersectam no ponto x ortogonalmente. De fato, o próximo resultado mostra que se uma linha reta tangencia n quádricas confocais, a mesma tem n vetores normais associados a ela. Esses vetores são claramente todos ortogonais entre si.

Lema 4.2.4 Se r é uma reta tangente a duas quádricas confocais $Q_{\lambda_1}(x) = 1$ e $Q_{\lambda_2}(x) = 1$ distintas, então os vetores normais a essas quádricas nos pontos de tangência são ortogonais.

Demonstração Seja r: u + tv a reta tangente a ambas as quádricas e $x^{(1)} = u + t_1v$, $x^{(2)} = u + t_2v$ os pontos de tangência de r com $Q_{\lambda_1}(x) = 1$ e $Q_{\lambda_2}(x) = 1$, respectivamente. A condição de tangência nos pontos $x^{(1)}$ e $x^{(2)}$ é dada por

$$<\nabla Q_{\lambda_1}(x^{(1)}), v>=0 \quad e \quad <\nabla Q_{\lambda_2}(x^{(2)}), v>=0.$$

Nosso objetivo é mostrar que $\langle \nabla Q_{\lambda_1}(x^{(1)}), \nabla Q_{\lambda_1}(x^{(1)}) \rangle = 0$. De fato,

$$\langle \nabla Q_{\lambda_{1}}(x^{(1)}), \nabla Q_{\lambda_{2}}(x^{(2)}) \rangle = 4 \cdot \sum_{i=1}^{n} \frac{x_{i}^{(1)} x_{i}^{(2)}}{(a_{i} - \lambda_{1})(a_{i} - \lambda_{2})}$$

$$= \frac{4}{\lambda_{1} - \lambda_{2}} \cdot \sum_{i=1}^{n} \left(\frac{x_{i}^{(1)} x_{i}^{(2)}}{a_{i} - \lambda_{1}} - \frac{x_{i}^{(1)} x_{i}^{(2)}}{a_{i} - \lambda_{2}} \right)$$

$$= \frac{4}{\lambda_{1} - \lambda_{2}} \cdot (Q_{\lambda_{1}}(x^{(1)}, x^{(2)}) - Q_{\lambda_{2}}(x^{(1)}, x^{(2)}))$$

$$= \frac{4}{\lambda_{1} - \lambda_{2}} \cdot (Q_{\lambda_{1}}(x^{(1)}, x^{(1)} - t_{1}v + t_{2}v) - Q_{\lambda_{2}}(x^{(2)} - t_{2}v + t_{1}v, x^{(2)}))$$

$$= \frac{4}{\lambda_{1} - \lambda_{2}} \cdot (Q_{\lambda_{1}}(x^{(1)}) - Q_{\lambda_{2}}(x^{(2)}) + (t_{2} - t_{1})Q_{\lambda_{1}}(x^{(1)}, v) -$$

$$- (t_{1} - t_{2})Q_{\lambda_{2}}(x^{(2)}, v))$$

$$= 0. \quad \blacksquare$$

Agora passaremos a formulação do problema do fluxo geodésico no elipsóide. As equações diferenciais que definem o fluxo geodésico no elipsóide são dadas por:

$$\frac{d^2x}{dt^2} = -\nu A^{-1}x\tag{4.3}$$

onde ν é determinado por

$$0 = \frac{1}{2} \frac{d^2}{dt^2} (\langle A^{-1}x, x \rangle)$$

$$= \langle A^{-1}\dot{x}, \dot{x} \rangle + \langle A^{-1}x, \ddot{x} \rangle$$

$$= \langle A^{-1}\dot{x}, \dot{x} \rangle - \nu \langle A^{-1}x, A^{-1}x \rangle$$

donde

$$\nu = \frac{\langle A^{-1}\dot{x}, \dot{x} \rangle}{\langle A^{-1}x, A^{-1}x \rangle}.$$

4.2.1 Formulação hamiltoniana

Para passar ao sistema Hamiltoniano que formula o problema, vincularemos a partícula livre de energia $H=\frac{\|y\|^2}{2}$ ao fibrado tangente do elipsóide. Os vínculos são

$$G_1(x) = \langle A^{-1}x, x \rangle - 1 = 0$$
 e $G_2(x) = \langle A^{-1}x, y \rangle = 0$

e o Hamiltoniano do sistema vinculado é dado por

$$H^* = \frac{1}{2} ||y||^2 - \lambda_1 G_1(x) - \lambda_2 G_2(x)$$

onde λ_1 e λ_2 são determinados a partir de $\{H^*,G_1\}=0$ e $\{H^*,G_2\}=0$.

$$\mbox{\bf Afirmação 4} \ \, \lambda_1 = -\frac{1}{2} \frac{< A^{-1}y, y>}{< A^{-1}x, A^{-1}x>} \quad e \quad \lambda_2 = \frac{< A^{-1}x, y>}{< A^{-1}x, A^{-1}x>}. \label{eq:lambda_1}$$

Demonstração De fato, como

$$0 = \{H^*, G_1\} = \{H, G_1\} - \lambda_1\{G_1, G_1\} - \lambda_2\{G_2, G_1\} \iff \lambda_2 = -\frac{\{H, G_1\}}{\{G_1, G_2\}}$$

$$0 = \{H^*, G_2\} = \{H, G_2\} - \lambda_1 \{G_1, G_2\} - \lambda_2 \{G_2, G_2\} \iff \lambda_1 = \frac{\{H, G_2\}}{\{G_1, G_2\}},$$

e, além disso, sabendo que

$$\{G_1, G_2\} = \frac{\partial G_1}{\partial x} \frac{\partial G_2}{\partial y} - \frac{\partial G_1}{\partial y} \frac{\partial G_2}{\partial x} = 2. < A^{-1}x, A^{-1}x >$$

$$\{H, G_1\} = \frac{\partial H}{\partial x} \frac{\partial G_1}{\partial y} - \frac{\partial H}{\partial y} \frac{\partial G_1}{\partial x} = -2. < A^{-1}x, y >$$

$$\{H, G_2\} = \frac{\partial H}{\partial x} \frac{\partial G_2}{\partial y} - \frac{\partial H}{\partial y} \frac{\partial G_1}{\partial x} = -1. < A^{-1}y, y > .$$

Chegamos ao resultado
$$\lambda_1 = -\frac{1}{2} \frac{\langle A^{-1}y, y \rangle}{\langle A^{-1}x, A^{-1}x \rangle} e \lambda_2 = \frac{\langle A^{-1}x, y \rangle}{\langle A^{-1}x, A^{-1}x \rangle}.$$

Com isso, nosso Hamiltoniano pode ser escrito na seguinte forma:

$$H^* = \frac{1}{2} \|y\|^2 + \frac{\mu}{2} \Phi_0(x, y) - \frac{\mu}{2} < A^{-1}x, y >^2$$

onde $\mu = \|A^{-1}x\|^{-2}$, $\Phi_0(x,y) = (\langle A^{-1}x, x \rangle - 1)(\langle A^{-1}y, y \rangle) - \langle A^{-1}x, y \rangle^2$. Mas, como o termo $\langle A^{-1}x, y \rangle$ e todas as suas derivadas anulam-se sobre o fibrado tangente do elipsóide podemos considerar como nosso Hamiltoniano a função

$$H^* = \frac{1}{2} ||y||^2 + \frac{\mu}{2} \Phi_0(x, y).$$

Assim, o sistema vinculado é dado por

$$\begin{cases} \frac{dx}{dt} = \frac{\partial H^*}{\partial y} = y \\ \frac{dy}{dt} = -\frac{\partial H^*}{\partial x} = -\mu < A^{-1}y, y > A^{-1}x \end{cases}$$

que é equivalente a (4.3). Para começarmos a análise do campo de vetores $\mathbb{X}_{H^*} = \frac{1}{2}\mathbb{X}_H + \frac{\mu}{2}\mathbb{X}_{\Phi_0}$, observemos que os campos de vetores \mathbb{X}_H e $\frac{\mu}{2}\mathbb{X}_{\Phi_0}$ são independentes pois, $\{\|y\|^2, \Phi_0\} = 0$. Portanto, discutiremos os dois campos separadamente. O primeiro é descrito por

$$\begin{cases} \dot{x} = \frac{\partial H}{\partial y} = y \\ \dot{y} = -\frac{\partial H}{\partial x} = 0 \end{cases}$$

e seu fluxo é dado pela aplicação $\varphi_t(x,y)=(x+ty,y)$. O segundo campo de vetores é descrito por

$$\begin{cases} \dot{x} = \mu \Phi_{0y} \\ \dot{y} = -\mu \Phi_{0x}. \end{cases}$$

4.2.2 Construção das integrais de movimento

Agora faremos a construção das integrais de movimento do campo de vetores $\frac{\mu}{2} \mathbb{X}_{\Phi_0}$, utilizando o fluxo de linhas tangentes a família de quádricas confocais com o elipsóide.

 $\textbf{Definição 4.2.5} \ \ \textit{Definimos} \ \Phi_{\lambda}(x,y) := (1 - Q_{\lambda}(x))Q_{\lambda}(y) + Q_{\lambda}^2(x,y), \ \textit{para todo} \ x,y \in \mathbb{R}^n.$

Lema 4.2.6 O conjunto $\{y \in \mathbb{R}^n \mid \Phi_{\lambda}(x,y) = 0\}$ representa o cone de retas passando pelo ponto x que são tangentes à quádrica Q_{λ} .

Demonstração Com efeito, dada uma reta r: x+ty, a mesma será tangente a quádrica Q_{λ} se e somente se existe $t \in \mathbb{R}$ tal que

$$Q_{\lambda}(x+ty,x+ty) = 1$$
 e $Q_{\lambda}(x+ty,y) = 0$.

Como

$$Q_{\lambda}(x+ty,x+ty) = Q_{\lambda}(x,x) + 2tQ_{\lambda}(x,y) + t^{2}Q_{\lambda}(y,y)$$

е

$$Q_{\lambda}(x + ty, y) = Q_{\lambda}(x, y) + tQ_{\lambda}(y, y)$$

temos que

$$t = -\frac{Q_{\lambda}(x, y)}{Q_{\lambda}(y, y)}$$

e, além disso,

$$Q_{\lambda}(x,x) - 2\frac{Q_{\lambda}(x,y)}{Q_{\lambda}(y,y)}Q_{\lambda}(x,y) + \frac{Q_{\lambda}^{2}(x,y)}{Q_{\lambda}^{2}(y,y)}Q_{\lambda}(y,y) = 1$$

donde

$$(1 - Q_{\lambda}(x, x))Q_{\lambda}(y) + Q_{\lambda}^{2}(x, y) = 0.$$

Logo, $\Phi_{\lambda}(x,y) = 0$.

Lema 4.2.7
$$\Phi_{\lambda}(x,y) = \sum_{k=1}^{n} \frac{F_k(x,y)}{a_k - \lambda}$$
, onde $F_k(x,y) = y_k^2 + \sum_{j \neq k} \frac{(x_j y_k - x_k y_j)^2}{a_k - a_j}$

Demonstração Com efeito,

$$\begin{split} \Phi_{\lambda}(x,y) &= \left(1 - \sum_{j=1}^{n} \frac{x_{j}^{2}}{a_{j} - \lambda}\right) \left(\sum_{k=1}^{n} \frac{y_{k}^{2}}{a_{k} - \lambda}\right) + \left(\sum_{j=1}^{n} \frac{x_{i}y_{j}}{a_{j} - \lambda}\right)^{2} \\ &= \sum_{k=1}^{n} \frac{y_{k}^{2}}{a_{k} - \lambda} - \left(\sum_{j,k} \frac{x_{j}^{2}y_{k}^{2}}{(a_{j} - \lambda)(a_{k} - \lambda)} - \sum_{j,k} \frac{x_{j}y_{j}x_{k}y_{k}}{(a_{j} - \lambda)(a_{k} - \lambda)}\right) \\ &= \sum_{k=1}^{n} \frac{y_{k}^{2}}{a_{k} - \lambda} - \sum_{j,k} \frac{x_{j}^{2}y_{k}^{2} - x_{j}y_{j}x_{k}y_{k}}{(a_{j} - \lambda)(a_{k} - \lambda)} \\ &= \sum_{k=1}^{n} \frac{y_{k}^{2}}{a_{k} - \lambda} - \sum_{j,k} \frac{1}{j \neq k} \frac{x_{j}^{2}y_{k}^{2} - x_{j}y_{j}x_{k}y_{k}}{a_{j} - \lambda} - \frac{x_{j}^{2}y_{k}^{2} - x_{j}y_{j}x_{k}y_{k}}{a_{k} - \lambda} \right) \\ &= \sum_{k=1}^{n} \frac{y_{k}^{2}}{a_{k} - \lambda} - \sum_{j,k} \frac{1}{j \neq k} \frac{x_{j}^{2}y_{k}^{2} - x_{j}y_{j}x_{k}y_{k}}{a_{j} - \lambda} + \frac{x_{k}^{2}y_{j}^{2} - x_{j}y_{j}x_{k}y_{k}}{a_{j} - \lambda} \\ &= \sum_{k=1}^{n} \frac{y_{k}^{2}}{a_{k} - \lambda} - \sum_{j,k} \frac{1}{j \neq k} \frac{x_{j}^{2}y_{k}^{2} - x_{j}y_{j}^{2}}{a_{k} - \lambda} \\ &= \sum_{k=1}^{n} \frac{y_{k}^{2}}{a_{k} - \lambda} + \sum_{j,k} \frac{1}{j \neq k} \frac{x_{k}y_{j} - x_{j}y_{k}^{2}}{a_{k} - a_{j}} \\ &= \sum_{k=1}^{n} \frac{y_{k}^{2} + \sum_{j \neq k} \frac{x_{k}y_{j} - x_{j}y_{k}^{2}}{a_{k} - a_{j}}}{a_{k} - \lambda} \\ &= \sum_{k=1}^{n} \frac{y_{k}^{2} + \sum_{j \neq k} \frac{x_{k}y_{j} - x_{j}y_{k}^{2}}{a_{k} - a_{j}}}{a_{k} - \lambda} \end{split}$$

Portanto, $\Phi_{\lambda}(x,y) = \sum_{k=1}^{n} \frac{F_k(x,y)}{a_k - \lambda}$.

Lema 4.2.8 As funções $F_k(x,y)$, k=1,...,n estão em involução, ou seja, $\{F_k,F_j\}=0$, k,j=1,...,n.

Demonstração Ver [4]. ■

Logo, as funções $F_k(x,y)$ são integrais de movimento do campo de vetores \mathbb{X}_{H^*} .

4.3 O problema mecânico de Neumann

O sistema em questão descreve o movimento de um ponto material sobre a esfera

$$\mathbb{S}^{n-1} = \{ q \in \mathbb{R}^n \mid ||q|| = 1 \}$$

sob a influência de um potencial quadrático $U(q) = \frac{1}{2} < Aq, q >$ onde $A = diag(a_0, ..., a_n)$. As equações de movimento do sistema são dadas por

$$\begin{cases} \frac{d^2q}{dt^2} = -Aq + \mu q \\ \mu = < Aq, q > -\|\dot{q}\|^2. \end{cases}$$

Mostraremos que esse sistema é integrável. Primeiro, estenderemos o sistema para \mathbb{R}^{2n} considerando o sistema formado pelo movimento de um ponto material sobre a influência do potencial $U(q) = \frac{1}{2} < Aq, q >$. As equações são obtidas vinculando o campo de vetores \mathbb{X}_H , com

$$H = \frac{1}{2} < Aq, q > +\frac{1}{2} (\|q\|^2 \|p\|^2 - \langle q, p \rangle^2),$$

ao fibrado tangente de \mathbb{S}^{n-1} e é suficiente mostrar que esse sistema é integrável. Para isso, primeiro vamos expandir a função racional

$$\Phi_{\lambda}(p,q) = (1 - Q_{\lambda}(p))Q_{\lambda}(q) + Q_{\lambda}^{2}(p,q)$$

em $\lambda = \infty$. Fazendo $\lambda = \frac{1}{w}$ e expandindo obtemos

$$Q_{\frac{1}{w}}(p,q) = \langle \frac{p}{a - \frac{1}{w}}, q \rangle$$

$$= w \langle \frac{p}{aw - 1}, q \rangle$$

$$= -w \langle p(1 + aw + a^2w^2 + ...), q \rangle$$

$$= -(w \langle p, q \rangle + w^2 \langle ap, q \rangle + o(w^3))$$

daí,

$$\Phi_{\frac{1}{w}}(p,q) = (1+w\|p\|^2 + w^2 < ap, p > +o(w^3))(-w\|q\|^2 - w^2 < aq, q > -o(w^3)) + o(w^3)(-w^2 + w^2) + o(w^2 +$$

+
$$(w < p, q > +w^2 < ap, q > +o(w^3))^2$$

= $-w||q||^2 - w^2 < aq, q > -w^2||p||^2||q||^2 + w^2 < p, q >^2 +o(w^3).$

Portanto,

$$\Phi_{\lambda}(p,q) = -\frac{1}{\lambda} ||q||^2 - \frac{1}{\lambda^2} (2H(q,p)) + o(\frac{1}{\lambda^3}). \tag{4.4}$$

Agora, expandindo $\Phi_{\lambda}(p,q) = \sum_{k=1}^{n} \frac{F_{k}(p,q)}{a_{k} - \lambda}$ em $\lambda = \infty$ temos:

$$\Phi_{\lambda}(p,q) = -\frac{1}{\lambda} \sum_{k=1}^{n} F_{k}(p,q) - \frac{1}{\lambda^{2}} \sum_{k=1}^{n} a_{k} F_{k}(p,q) + o(\frac{1}{\lambda^{3}})$$

$$= -\frac{1}{\lambda} ||p||^{2} - \frac{1}{\lambda^{2}} \sum_{k=1}^{n} a_{k} F_{k}(p,q) + o(\frac{1}{\lambda^{3}}).$$
(4.5)

Assim, de (4.4) e (4.5) concluimos que

$$H(q,p) = \frac{1}{2} \sum_{k=1}^{n} a_k F_k(p,q).$$

Logo, pelo lema (4.2.8), as funções $F_k(p,q)$ estão em involução e, com isso, são as desejadas integrais do sistema de Neumann.

4.4 Conexão entre o sistema de Neumann e o fluxo geodésico no elipsóide via a aplicação normal de Gauss

Nesta seção, mostraremos que o fluxo geodésico sobre o elipsóide $< A^{-1}q, q>=1$ e o problema de Neumann são relativamente fechados no sentido que as soluções do fluxo geodésico podem ser levadas em soluções do problema de Neumann. Para isso, usaremos a aplicação normal de Gauss

$$g: Q_0 \longrightarrow \mathbb{S}^{n-1}$$

$$x \mapsto q = rA^{-1}x$$

onde $r = ||A^{-1}x||^{-1}$.

Comecaremos fazendo uma reparametrização no tempo pela mudança de variável $s=\psi(t)$. Com isso,

$$\frac{d^2x}{ds^2} = \frac{d}{ds} \left(\frac{dx}{ds}\right)
= \frac{d}{ds} \left(\frac{dx}{dt} \frac{dt}{ds}\right)
= \frac{d}{ds} \left(\frac{dx}{dt} \frac{1}{\dot{\psi}}\right)
= \frac{1}{\dot{\psi}} \frac{d}{ds} \left(\frac{dx}{dt}\right) - \left(\frac{\ddot{\psi}}{\dot{\psi}^3} \frac{dx}{dt}\right)
= \frac{1}{\dot{\psi}^2} \frac{d^2x}{dt^2} - \left(\frac{\ddot{\psi}}{\dot{\psi}^3} \frac{dx}{dt}\right)
= \frac{1}{\dot{\psi}^2} \left(\frac{d^2x}{dt^2} - \frac{\ddot{\psi}}{\dot{\psi}} \frac{dx}{dt}\right)$$

substituindo na equação (4.3) obtemos

$$\ddot{x} = -\nu \dot{\psi}^2 A^{-1} x + \frac{\ddot{\psi}}{\dot{\psi}} \dot{x}.$$

Escolhendo $\psi(t)$ tal que $\nu\dot{\psi}^2=1$ e supondo $B=A^{-1}$ e $b=\frac{\ddot{\psi}}{\dot{\psi}},$ a equação toma a forma

$$\ddot{x} = -Bx + b\dot{x}, \quad b = b(t) = \frac{\ddot{\psi}}{\dot{\psi}}. \tag{4.6}$$

Lema 4.4.1
$$Se < Bx, x >= 1$$
 $ent\tilde{ao} \frac{\langle B\dot{x}, \dot{x} >}{\langle Bx, Bx >} = 1$ $e b = 2 \frac{\langle Bx, B\dot{x} >}{\langle Bx, Bx >}.$

Demonstração Primeiro, derivando duas vezes a expressão < Bx, x >= 1 temos

$$\langle B\dot{x}, \dot{x} \rangle + \langle Bx, \ddot{x} \rangle = 0.$$

Por (4.6)

$$\langle B\dot{x}, \dot{x} \rangle + \langle Bx, -Bx + b\dot{x} \rangle = 0$$

daí,

$$0 = + b < Bx, \dot{x}> - = - \tag{4.7}$$

e, com isso,

$$\frac{\langle B\dot{x}, \dot{x} \rangle}{\langle Bx, Bx \rangle} = 1.$$

Da mesma forma, derivando (4.7) temos

$$\begin{array}{ll} 0 & = & - \\ \\ & = & <-Bx+b\dot{x}, B\dot{x}> - \\ \\ & = & - + b <\dot{x}, B\dot{x}> - . \end{array}$$

Donde,

$$b = 2 \frac{\langle Bx, B\dot{x} \rangle}{\langle \dot{x}, B\dot{x} \rangle} = 2 \frac{\langle Bx, B\dot{x} \rangle}{\langle Bx, Bx \rangle} . \blacksquare$$

Teorema 4.4.2 A aplicação normal de Gauss $g: Q_0 \longrightarrow \mathbb{S}^{n-1}$ leva soluções de (4.6) satisfazendo

$$< Bx, x > = 1, < Bx, \dot{x} > = 0 < B\dot{x}, \dot{x} > = < Bx, Bx >$$

em soluções do problema de Neumann

$$\ddot{q} = -Bq + \nu q, \quad \nu = < Bq, q > -\|\dot{q}\|^2$$

satisfazendo

$$||q||^2 = 1, \quad \langle q, \dot{q} \rangle = 0, \quad \Psi_0(\dot{q}, q) = 0$$

onde Ψ_{λ} é obtido de Φ_{λ} trocando-se A^{-1} por B.

Demonstração Diferenciando q = rBx temos

$$\dot{q} = \dot{r}Bx + rB\dot{x} = rB\left(\dot{x} + \frac{\dot{r}}{r}x\right)$$

e por (4.6)

$$\ddot{q} = \ddot{r}Bx + \dot{r}B\dot{x} + \dot{r}B\dot{x} + rB\ddot{x}$$

$$= \ddot{r}Bx + 2\dot{r}B\dot{x} + rB(-Bx + b\dot{x})$$

$$= -Bq + (2\dot{r} + rb)B\dot{x} + \frac{\ddot{r}}{r}q.$$

Mas,

$$r = \frac{1}{\|Bx\|} \Longrightarrow \dot{r} = -\frac{\langle B\dot{x}, Bx \rangle}{\|Bx\|^3} \Longrightarrow \frac{\dot{r}}{r} = -\frac{\langle B\dot{x}, Bx \rangle}{\|Bx\|^2} = -\frac{b}{2} \Longrightarrow 2\dot{r} + br = 0.$$

Daí,

$$\ddot{q} = -Bq + \frac{\ddot{r}}{r}q$$

que é nossa equação diferencial desejada.

A aplicação $(x,\dot{x})\mapsto (q,\dot{q})$ definida por

$$\begin{cases} q = rBx \\ \dot{q} = \dot{r}Bx + rB\dot{x} = rB\left(\dot{x} + \frac{\dot{r}}{r}x\right), & \frac{\dot{r}}{r} = -\frac{\langle B\dot{x}, Bx \rangle}{\langle Bx, Bx \rangle} \end{cases}$$

é uma extensão da aplicação de Gauss ao fibrado tangente do elipsóide Q_0 .

4.5 Solução do problema de Neumann usando as equações de Hamilton-Jacobi

Agora mostraremos a integrabilidade do sistema de Neumann usando o metódo da separação das variáveis na equação de Hamilton-Jacobi. Para isso, faremos uma escolha apropriada de coordenadas, que são definidas como segue.

Definição 4.5.1 Dados $a_0 < a_1 < ... < a_n$ e $x = (x_0, x_1, ..., x_n)$, $\prod_{\nu=0}^n x_\nu \neq 0$. Defina $u_j = u_j(x)$ como soluções da equação

$$\sum_{\nu=0}^{n} \frac{x_{\nu}^{2}}{z - a_{\nu}} = \frac{\prod_{j=1}^{n} (z - u_{j})}{\prod_{\nu=0}^{n} (z - a_{\nu})}$$

onde os u_i intercalam os a_{ν} como segue

$$a_0 < u_1 < a_1 < \dots < u_n < a_n$$
.

Vamos considerar $U(z) = \prod_{j=1}^{n} (z - u_j)$ e $A(z) = \prod_{\nu=0}^{n} (z - a_{\nu})$. Para $z = u_j(x)$ temos

$$\begin{cases} \sum_{\nu=0}^{n} \frac{x_{\nu}^{2}}{z - a_{\nu}} = 0 \\ \sum_{\nu=0}^{n} x_{\nu}^{2} = 1, \end{cases}$$

daí, os $u_j(x)$ podem ser vistos como coordenadas sobre a esfera. $z=u_j$ define a interseção da esfera com uma família de cones confocais.

Da expressão acima podemos escrever x_{ν}^2 em termos de u_j , calculando o resíduo em $z=a_j,$

$$x_{\nu}^{2} = \frac{U(a_{\nu})}{A'(a_{\nu})} \tag{4.8}$$

Lema 4.5.2 O conjunto $\{u_1,...,u_n\}$ forma um sistema ortogonal de coordenadas.

Demonstração Tomando o logaritmo de (4.8) temos que

$$\ln(x_{\nu}^{2}) = \ln(U(a_{\nu})) - \ln(A'(a_{\nu}))$$
$$= \sum_{j=1}^{n} \ln(a_{\nu} - u_{j}) - \ln(A'(a_{\nu}))$$

derivando obtemos

$$\frac{2x_{\nu}dx_{\nu}}{x_{\nu}^{2}} = -\sum_{j=1}^{n} \frac{du_{j}}{a_{\nu} - u_{j}}$$
$$\frac{2dx_{\nu}}{x_{\nu}} = -\sum_{j=1}^{n} \frac{du_{j}}{a_{\nu} - u_{j}}$$

Queremos calcular $\Sigma_{\nu}dx_{\nu}\otimes dx_{\nu}$:

$$\sum_{\nu} dx_{\nu} \otimes dx_{\nu} = \sum_{\nu} \left(\sum_{j=1}^{n} \frac{x_{\nu}}{2} \frac{du_{j}}{u_{j} - a_{\nu}} \right) \otimes \left(\sum_{i=1}^{n} \frac{x_{\nu}}{2} \frac{du_{i}}{u_{i} - a_{\nu}} \right)$$

$$= \frac{1}{4} \sum_{\nu} \left(\sum_{i,j=1}^{n} \frac{x_{\nu}^{2}}{(u_{j} - a_{\nu})(u_{i} - a_{\nu})} du_{j} \otimes du_{i} \right)$$

$$= \frac{1}{4} \left(\sum_{i \neq j} \sum_{\nu} \frac{x_{\nu}^{2}}{u_{j} - u_{i}} \left(\frac{1}{u_{i} - a_{\nu}} - \frac{1}{u_{j} - a_{\nu}} \right) du_{j} \otimes du_{i} \right)$$

$$+ \frac{1}{4} \sum_{i} \sum_{\nu} \frac{x_{\nu}^{2}}{(u_{j} - a_{\nu})^{2}} du_{i} \otimes du_{i}$$

$$= \frac{1}{4} \sum_{i \neq j} \frac{1}{u_{j} - u_{i}} \left(\sum_{\nu} \frac{x_{\nu}^{2}}{u_{i} - a_{\nu}} - \sum_{\nu} \frac{x_{\nu}^{2}}{u_{j} - a_{\nu}} \right) du_{j} \otimes du_{i}$$

$$+ \frac{1}{4} \sum_{i} \sum_{\nu} \frac{x_{\nu}^{2}}{(u_{j} - a_{\nu})^{2}} du_{i} \otimes du_{i}$$

$$= \frac{1}{4} \sum_{i} \sum_{\nu} \frac{x_{\nu}^{2}}{(u_{j} - a_{\nu})^{2}} du_{i} \otimes du_{i},$$

observemos que

$$\sum_{\nu} \frac{x_{\nu}^{2}}{(u_{j} - a_{\nu})^{2}} = -\frac{d}{dz} \left(\sum_{\nu} \frac{x_{\nu}^{2}}{z - a_{\nu}} \right) \Big|_{z=u_{j}}$$

$$= -\frac{d}{dz} \left(\sum_{\nu} \frac{U(z)}{A(z)} \right) \Big|_{z=u_{j}}$$

$$= -\frac{U'(u_{j})}{A(u_{j})}.$$

Portanto,

$$\sum_{\nu} dx_{\nu} \otimes dx_{\nu} = \sum_{i} -\frac{1}{4} \frac{U'(u_{j})}{A(u_{j})} du_{i} \otimes du_{i}. \quad \blacksquare$$

Agora, queremos escrever o hamiltoniano do problema de Neumann em termos das novas variáveis $\{u_j\}$. Para isso, vamos escrever as fórmulas da energia cinética e potencial do problema nessas coordenadas.

Lema 4.5.3 Nas novas coordenadas,

$$T = \frac{1}{2} \sum_{j=1}^{n} g_j \dot{u}_j^2 \tag{4.9}$$

$$V = \frac{1}{2} \left(\sum_{\nu=0}^{n} a_{\nu} - \sum_{j=1}^{n} u_{j} \right) \tag{4.10}$$

Demonstração Ver [6]. ■

Introduzindo as variáveis canônicamente conjugadas v_i por

$$v_j = \frac{\partial T}{\partial \dot{u}_j},$$

o Hamiltoniano se escreve

$$H = T + V = \frac{1}{2} \sum_{j=1}^{n} (g_j^{-1} v_j^2 - u_j).$$

Daí, as equações de movimento são dadas por

$$\dot{u}_j = H_{v_j} \quad , \quad \dot{v}_j = -H_{u_j}$$

e a equação de Hamilton-Jacobi

$$H\left(u, \frac{\partial S}{\partial u}\right) = constante.$$

Na verdade queremos uma solução $S=S(u,\eta),$ dependendo de $\eta=(\eta_1,...,\eta_n),$ da equação

$$H\left(u, \frac{\partial S}{\partial u}\right) = \eta_1. \tag{4.11}$$

Daí, a transformação canônica $(u, v) \mapsto (\xi, \eta)$ definida por

$$v_j = \frac{\partial S}{\partial u_j}$$
 , $\xi_j = \frac{\partial S}{\partial \eta_j}$

leva o hamiltoniano em $H=\eta_1$ e as equações diferenciais em

$$\dot{\xi}_j = \delta_{j1} \quad , \quad \dot{\eta}_j = 0.$$

Para isso, faremos uma separação de variáveis na equação (4.11).

4.5.1 Separação das variáveis

No problema, a equação de Hamilton-Jacobi assume a forma

$$\sum_{j=1}^{n} \left(g_j^{-1} \left(\frac{\partial S}{\partial u_j} \right)^2 - u_j \right) = 2\eta_1. \tag{4.12}$$

Para resolver essa equação usaremos as identidades

Lema 4.5.4 Se $P(z) = \eta_1 z^{n-1} + \eta_2 z^{n-2} + ... + \eta_n$ é um polinômio então

$$\sum_{j=1}^{n} \frac{P(u_j)}{U'(u_j)} = \eta_1 \qquad e \qquad \sum_{j=1}^{n} \frac{u_j^n}{U'(u_j)} = \sum_{j=1}^{n} u_j$$

Demonstração Considere a função

$$f(z) = \frac{P(z)}{U(z)} - \frac{\eta_1}{z} = \frac{zP(z) - \eta_1 U(z)}{zU(z)}$$
(4.13)

Como os coeficientes líderes de zP(z) e $\eta_1U(z)$ são ambos η_1 , segue que o numerador de (4.13) é de grau n-1 (no máximo). Logo f é da forma $\frac{G(z)}{H(z)}$ onde $grau(H)=n+1\geqslant grau(G)+2$ e os pólos de f(z) são $0,u_1,u_2,...,u_n$. Seja C_R o círculo de raio R centrado na origem. Para |z| suficientemente grande (digamos $|z|\geqslant R$) temos $|f(z)|\leqslant \frac{C}{|z|^2}$, com C constante. Podemos supor, também, que C_R contém no seu interior as singularidades de f, então

$$\left| \int_{C_R} f(z)dz \right| = \left| \int_0^{2\pi} f(Re^{i\theta})iRe^{i\theta}d\theta \right|$$

$$\leqslant \int_0^{2\pi} |f(Re^{i\theta})|Rd\theta$$

$$\leqslant \frac{C}{R^2}R \int_0^{2\pi}d\theta$$

$$= \frac{2\pi C}{R}.$$

Daí, $\left|\int_{C_R} f(z)dz\right| \longrightarrow 0$ quando $R \longrightarrow \infty$. Logo, $\int_{C_R} f(z)dz = 0$. Assim,

$$\sum_{j=1}^{n} \frac{P(u_j)}{U'(u_j)} = \frac{1}{2\pi} \int_{C_R} \frac{P(z)}{U(z)} dz = \frac{1}{2\pi} \int_{C_R} \frac{\eta_1}{z} dz = \eta_1.$$

Analogamente, mostra-se a segunda relação.

A equação (4.12) é reescrita:

$$\sum_{j=1}^{n} \left(-4 \frac{A(u_j)}{U'(u_j)} \left(\frac{\partial S}{\partial u_j} \right)^2 - u_j \right) = 2\eta_1$$

fazendo

$$B_j = -4A(u_j) \left(\frac{\partial S}{\partial u_j}\right)^2$$

temos

$$\sum_{j=1}^{n} \left(\frac{B_j}{U'(u_j)} - u_j \right) - 2\eta_1 = 0$$

$$\sum_{j=1}^{n} \frac{1}{U'(u_j)} (B_j - u_j^n - 2P(u_j)) = 0.$$

Podemos resolver a equação acima colocando cada termo identicamente igual a zero:

$$B_j - u_j^n - 2P(u_j) = -4A(u_j) \left(\frac{\partial S}{\partial u_j}\right)^2 - u_j^n - 2P(u_j) = 0.$$

Fazendo

$$Q(z) = z^{n} + 2\eta_{1}z^{n-1} + \dots + 2\eta_{n}$$

a equação é separada em

$$\left(\frac{\partial S}{\partial u_j}\right)^2 = -\frac{Q(u_j)}{4A(u_j)}$$

e é resolvida por

$$S = \frac{1}{2} \sum_{i=1}^{n} \int_{u_i} \sqrt{-\frac{Q(z)}{A(z)}} \ dz.$$

Assim, encontramos explicitamente a função geradora que nos fornece a transformação de coordenadas $(u,v)\mapsto (\xi,\eta)$ e leva o sistema de equações diferenciais do nosso hamiltoniano inicial no sistema de equações diferenciais completamente integrável

$$\begin{cases} \dot{\xi}_j = \delta_{j1} \\ \dot{\eta}_j = 0 \end{cases}$$

mostrando a integrabilidade do problema de C.Neumann.

Bibliografia

- [1] Abraham, R. e Marsden, J. E., Foundations of Mechanics, Addison-Wesley (1978).
- [2] Arnold, V. I., Mathematical Methods of Classical Mechanics, Springer-Verlag(1978).
- [3] Boothby, W. M., An Introduction to Differentiable Manifolds and Riemannian Geometry, Academic Press. Inc. (1986)
- [4] Deift, P., Lund., F. e Trubowitz, E., Nonlinear Wave Equations and Constrained Harmonic Motion, Commun. Math. Phys. 74, 141-188(1980)
- [5] Goldstein, H., Classical Mechanics, Second Edition, Addison-Wesley (1980).
- [6] Guckenheimer, J., Moser, J., and Newhouse, S. E., *Dynamical Sistem*, Progress in Mathematics Vol.8, Birkhauser Boston(1980).
- [7] Marsden, J. E., Introduction to Mechanics and Simmetry, Springer-Verlag(1994).
- [8] Moser, J., Integrable Hamiltonian System and Spectral Theory, Lezioni Fermiane, Pisa(1981).